

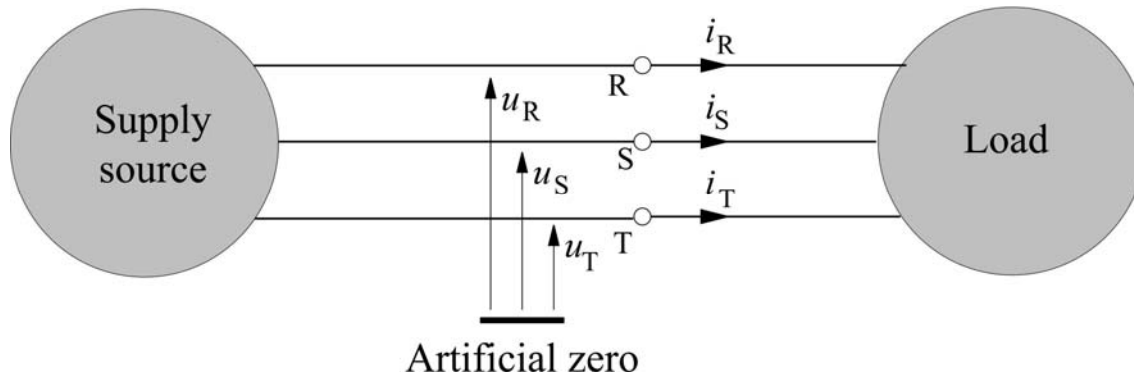
# **MOCE I KOMPENSACJA W UKŁADACH Z NIESINUSOIDALNYMI PRZEBIEGAMI PRĄDU I NAPIĘCIA**

Leszek S. Czarnecki, Fellow IEEE

Internet Page: [www.lsczar.info](http://www.lsczar.info)

Research >>> Selected papers

## Moc pozorna w układach trójfazowych, trójprzewodowych



Trzy definicje mocy pozornej:

$$S_A = U_R I_R + U_S I_S + U_T I_T$$

$$S_G = \sqrt{P^2 + Q^2}$$

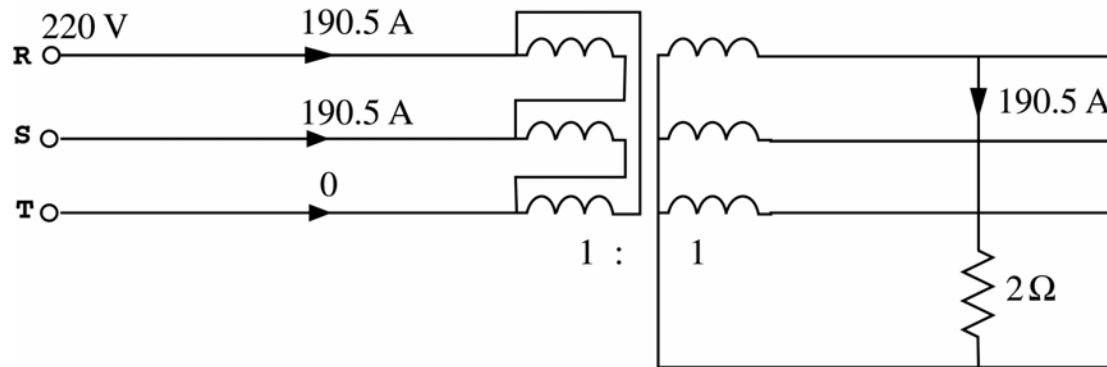
$$S_B = \sqrt{U_R^2 + U_S^2 + U_T^2} \sqrt{I_R^2 + I_S^2 + I_T^2}$$

Która jest poprawna?

$$P = 72.3 \text{ kW}$$

Ideal

$$P = 72.3 \text{ kW}$$



$$S = S_A = U_R I_R + U_S I_S + U_T I_T = 83.8 \text{ kVA}$$

$$S = S_G = \sqrt{P^2 + Q^2} = 72.3 \text{ kVA}$$

$$S = S_B = \sqrt{U_R^2 + U_S^2 + U_T^2} \sqrt{I_R^2 + I_S^2 + I_T^2} = 220\sqrt{3} \times 190.2\sqrt{2} = 102.7 \text{ kVA}$$

$$\lambda = \frac{P}{S}$$

$$\lambda_A = \frac{P}{S_A} = 0.86$$

$$\lambda_G = \frac{P}{S_G} = 1$$

$$\lambda_B = \frac{P}{S_B} = 0.71$$

**Jaką wartość ma współczynnik mocy?**

Powszechnie stosowane równanie mocy

$$S^2 = P^2 + Q^2$$

z mocą czynną:

$$P \stackrel{\text{df}}{=} \frac{1}{T} \int_0^T p(t) dt = \frac{1}{T} \int_0^T [u_R i_R + u_S i_S + u_T i_T] dt = \sum_{f=R,S,T} U_f I_f \cos \varphi_f$$

i mocą bierną:

$$Q \stackrel{\text{df}}{=} \sum_{f=R,S,T} U_f I_f \sin \varphi_f$$

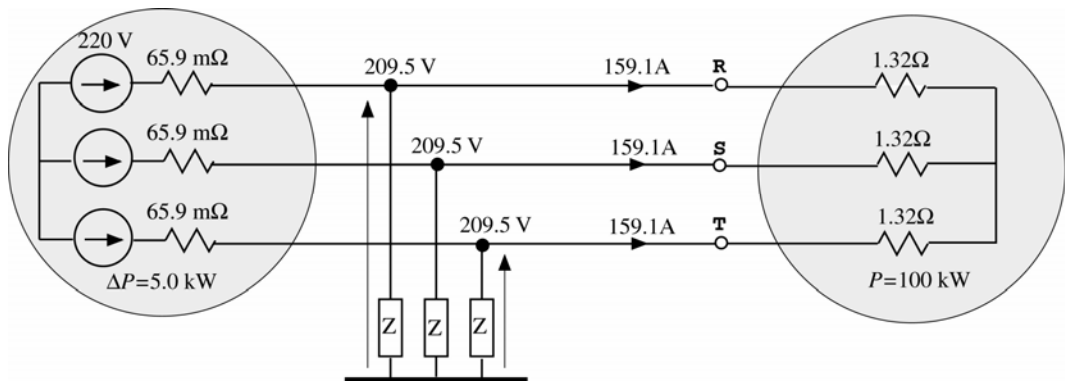
narzuca geometryczną definicję mocy pozornej S. Przy innych definicjach  
równanie mocy nie jest spełnione

Ocena i wybór definicji mocy pozornej  $S$   
ze względu na straty energii w źródle zasilania i współczynnik mocy:

*L.S. Czarnecki:*

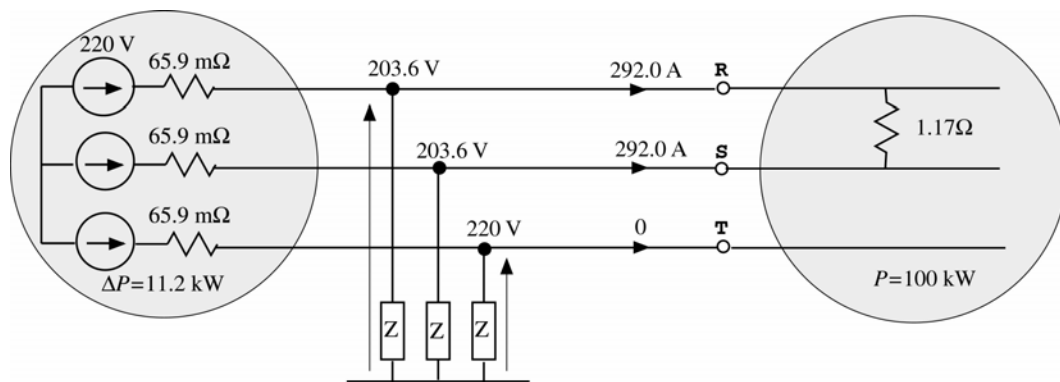
**Energy Flow and Power Phenomena in Electrical Circuits:  
Illusions and Reality,**

*Archiv fur Elektrotechnik*, (82), No. 4, pp. 10-15, 1999.



$$S_A = S_G = S_B = 100 \text{ kVA}$$

$$\lambda_A = \lambda_G = \lambda_B = 1$$

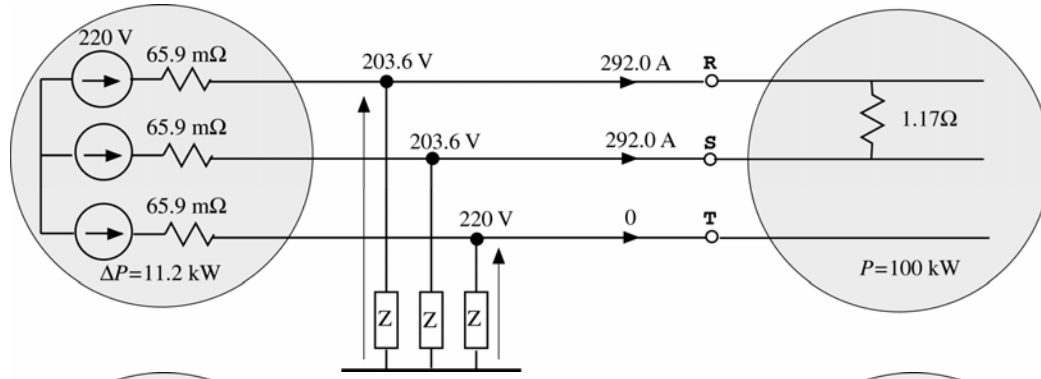


$$S_A = 119 \text{ kVA}, \quad \lambda_A = 0.84$$

$$S_G = 100 \text{ kVA}, \quad \lambda_G = 1$$

$$S_B = 149 \text{ kVA}, \quad \lambda_B = 0.67$$

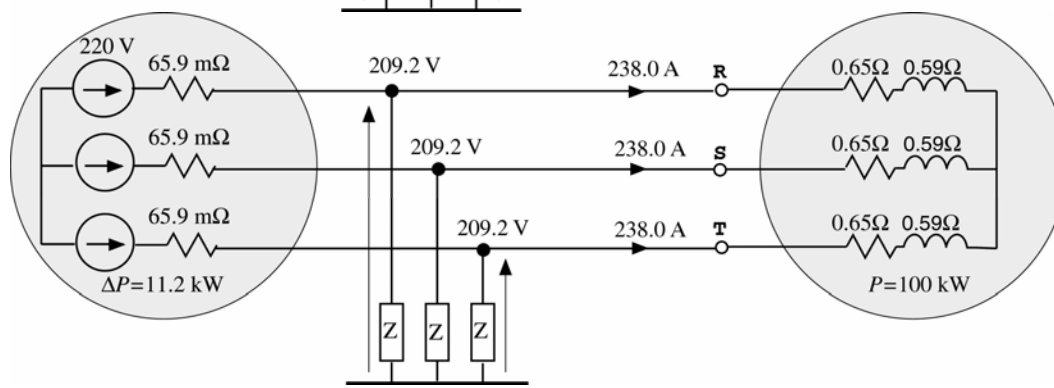
**Definicja geometryczna  $S = \sqrt{P^2 + Q^2}$  jest błędna**



$$S_A = 119 \text{ kVA}, \quad \lambda_A = 0.84$$

$$S_G = 100 \text{ kVA}, \quad \lambda_G = 1$$

$$S_B = 149 \text{ kVA}, \quad \lambda_B = 0.67$$



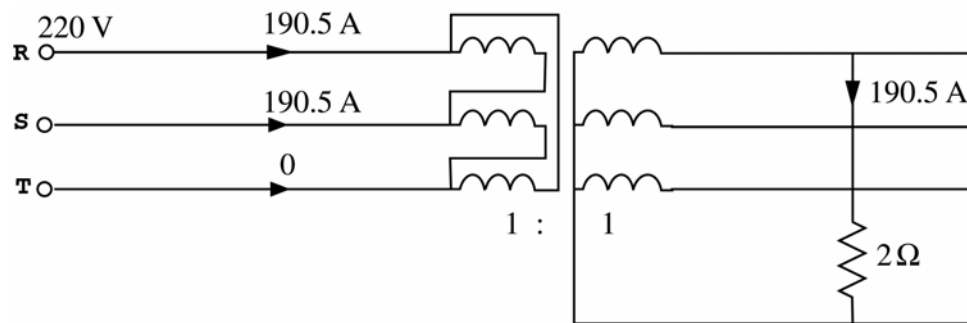
$$S_A = S_G = S_B = 149 \text{ kVA}$$

$$\lambda_A = \lambda_G = \lambda_B = 0.67$$

$$S = \sqrt{U_R^2 + U_S^2 + U_T^2} \sqrt{I_R^2 + I_S^2 + I_T^2}$$

**Definicje**  $S = U_R I_R + U_S I_S + U_T I_T, \quad S = \sqrt{P^2 + Q^2}$  są błędne

$$P = 72,3 \text{ kW}, \\ Q = 0$$



$$S = \sqrt{U_R^2 + U_S^2 + U_T^2} \sqrt{I_R^2 + I_S^2 + I_T^2} = 220\sqrt{3} \times 190,2\sqrt{2} = 102,7 \text{ kVA}$$

## Powszechnie stosowane równanie mocy

$$S^2 = P^2 + Q^2$$

nie jest spełnione

**Jeśli równanie**

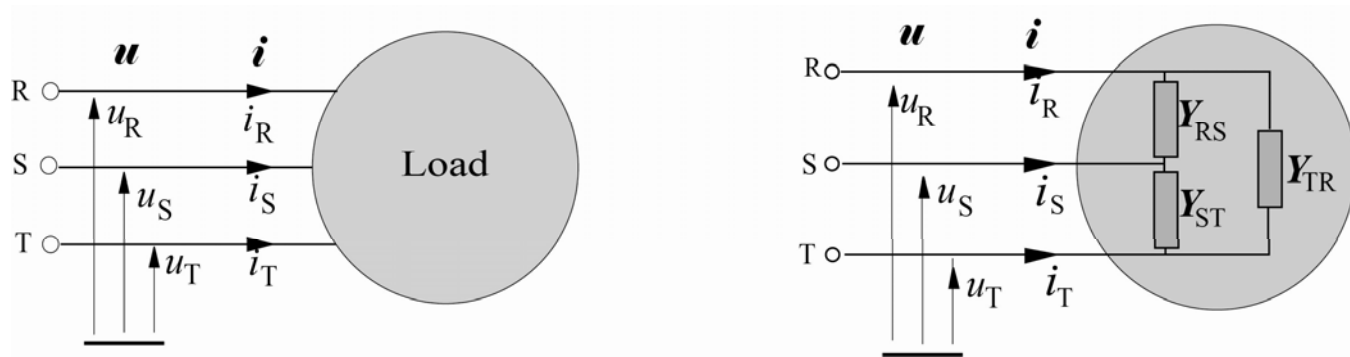
$$S^2 = P^2 + Q^2$$

**jest błędne, trzeba znaleźć nowe równanie mocy  
!!!**

*L.S. Czarnecki:*

Equivalent Circuits of Unbalanced Loads  
Supplied with Symmetrical and Asymmetrical Voltage  
and their Identification,  
*Archiv fur Elektrotechnik*, 78 pp. 165-168, 1995.

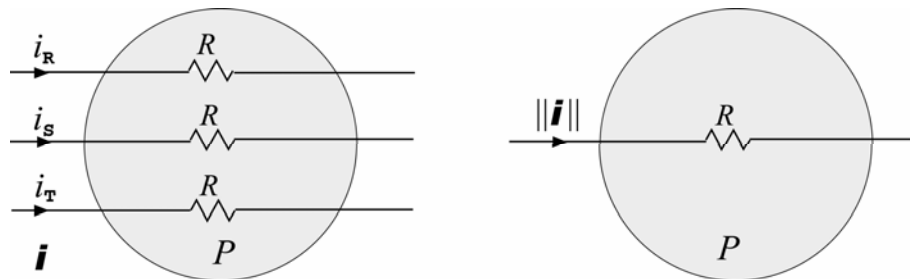
Każdy odbiornik trójfazowy zasilany napięciem sinusoidalnym ma równoważny odbiornik o konfiguracji  $\Delta$



Jeśli napięcie jest symetryczne,  
każdy odbiornik ma  
nieskończonie wiele odbiorników równoważnych o konfiguracji  $\Delta$

## Wartość skuteczna wektora trójfazowego

$$\boldsymbol{x} \stackrel{\text{df}}{=} \boldsymbol{x}(t) = \begin{bmatrix} x_R(t) \\ x_S(t) \\ x_T(t) \end{bmatrix} \stackrel{\text{df}}{=} \begin{bmatrix} x_R \\ x_S \\ x_T \end{bmatrix} = \sqrt{2} \operatorname{Re} \begin{bmatrix} X_R \\ X_S \\ X_T \end{bmatrix} e^{j\omega_l t} = \sqrt{2} \operatorname{Re} X e^{j\omega_l t}$$



Moc czynna symetrycznego urządzenia trójfazowego

$$P = R \frac{1}{T} \int_0^T (i_R^2 + i_S^2 + i_T^2) dt \stackrel{\text{df}}{=} R \|\boldsymbol{i}\|^2$$

$$\|\boldsymbol{i}\| \stackrel{\text{df}}{=} \sqrt{\frac{1}{T} \int_0^T (i_R^2 + i_S^2 + i_T^2) dt} = \sqrt{\|i_R\|^2 + \|i_S\|^2 + \|i_T\|^2}$$

**jest wartością skuteczną prądu trójfazowego**

*Leszek S. Czarnecki:*

**Orthogonal Decomposition of the Current in a Three-phase Non-linear  
Asymmetrical Circuit with Nonsinusoidal Voltage,**

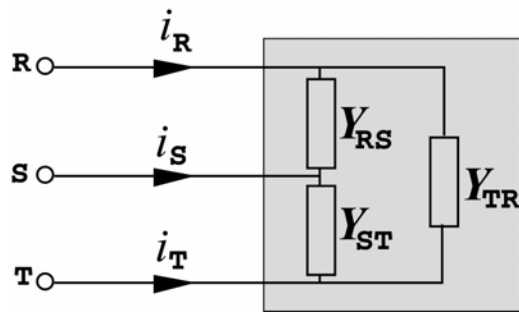
*IEEE Transactions on Instrumentation and Measurement*, Vol. IM-37, No. 1, pp. 30-34,  
1988.

W obwodach jednofazowych:  $S \stackrel{\text{df}}{=} \|u\| \|i\|$

W obwodach trójfazowych:  $S \stackrel{\text{df}}{=} \|\boldsymbol{u}\| \|\boldsymbol{i}\|$

Definicja Buchholtz'a dla obwodów z przebiegami sinusoidalnymi

$$S_B = \sqrt{U_R^2 + U_S^2 + U_T^2} \sqrt{I_R^2 + I_S^2 + I_T^2}$$



$$\begin{bmatrix} U_R \\ U_S \\ U_T \end{bmatrix} \stackrel{\text{df}}{=} U$$

$$\begin{bmatrix} U_R \\ U_T \\ U_S \end{bmatrix} \stackrel{\text{df}}{=} U^\#$$

$$Y_{RS} + Y_{ST} + Y_{TR} \stackrel{\text{df}}{=} Y_e = G_e + jB_e, \quad \text{Admitancja równoważna}$$

$$-(Y_{ST} + \alpha Y_{TR} + \alpha^* Y_{RS}) \stackrel{\text{df}}{=} A, \quad \text{Admitancja niezrównoważenia}$$

$$\boldsymbol{i} = \sqrt{2} \operatorname{Re} \{ e^{j\omega t} \} = \sqrt{2} \operatorname{Re} \{ (G_e U + jB_e U + A U^\#) e^{j\omega t} \}$$

$$\boldsymbol{i}_a \stackrel{\text{df}}{=} \sqrt{2} \operatorname{Re} \{ G_e U e^{j\omega t} \} \quad \text{- Prąd czynny}$$

$$\boldsymbol{i}_r \stackrel{\text{df}}{=} \sqrt{2} \operatorname{Re} \{ jB_e U e^{j\omega t} \} \quad \text{- Prąd bierny}$$

$$\boldsymbol{i}_u \stackrel{\text{df}}{=} \sqrt{2} \operatorname{Re} \{ A U^\# e^{j\omega t} \} \quad \text{- Prąd niezrównoważenia} \\ (\text{Unbalanced current})$$

$$\boldsymbol{i} = \boldsymbol{i}_a + \boldsymbol{i}_r + \boldsymbol{i}_u$$

## Ortogonalność wektorów trójfazowych

$$\|\mathbf{x} + \mathbf{y}\| = \sqrt{\frac{1}{T} \int_0^T [\mathbf{x}(t) + \mathbf{y}(t)]^2 dt} = \sqrt{\|\mathbf{x}\|^2 + 2(\mathbf{x}, \mathbf{y}) + \|\mathbf{y}\|^2}.$$

Wektory  $\mathbf{x}$  i  $\mathbf{y}$  są wzajemnie ortogonalne jeśli ich iloczyn skalarny jest równy零

$$(\mathbf{x}, \mathbf{y}) = \frac{1}{T} \int_0^T \mathbf{x}^T(t) \mathbf{y}(t) dt = 0$$

Wówczas:

$$\|\mathbf{x} + \mathbf{y}\| = \sqrt{\|\mathbf{x}\|^2 + \|\mathbf{y}\|^2}$$

Iloczyn skalarny  $(\mathbf{x}, \mathbf{y})$  można wyznaczyć znając wektory zespolonych wartości skutecznych  $X$  i  $Y$ ,

$$(\mathbf{x}, \mathbf{y}) = (x_R, y_R) + (x_S, y_S) + (x_T, y_T) = \operatorname{Re}\{X_R Y_R^* + X_S Y_S^* + X_T Y_T^*\} = \operatorname{Re}\{X^T Y^*\}$$

$$\color{blue}{\dot{\boldsymbol{i}}} = \dot{\boldsymbol{i}}_a + \dot{\boldsymbol{i}}_r + \dot{\boldsymbol{i}}_u$$

$$(\dot{\boldsymbol{i}}_a, \dot{\boldsymbol{i}}_r) = \operatorname{Re}\{\dot{\boldsymbol{I}}_a^T \dot{\boldsymbol{I}}_r^*\} = \operatorname{Re}\{\boldsymbol{G}_e \boldsymbol{U}^T (jB_e \boldsymbol{U})^*\} = \operatorname{Re}\{-jB_e \boldsymbol{G}_e \|\boldsymbol{u}\|^2\} = 0$$

$$(\dot{\boldsymbol{i}}_a, \dot{\boldsymbol{i}}_u) = \operatorname{Re}\{\dot{\boldsymbol{I}}_a^T \dot{\boldsymbol{I}}_u^*\} = \operatorname{Re}\{\boldsymbol{G}_e \boldsymbol{U}^T (\boldsymbol{A} \boldsymbol{U}^\#)^*\} = 0$$

$$(\dot{\boldsymbol{i}}_r, \dot{\boldsymbol{i}}_u) = \operatorname{Re}\{\dot{\boldsymbol{I}}_r^T \dot{\boldsymbol{I}}_u^*\} = \operatorname{Re}\{jB_e \boldsymbol{U}^T (\boldsymbol{A} \boldsymbol{U}^\#)^*\} = 0.$$

Wektory prądu czynnego, biernego i prądu niezrównoważenia  
są wzajemnie ortogonalne

$$\|\dot{\boldsymbol{i}}\|^2 = \|\dot{\boldsymbol{i}}_a\|^2 + \|\dot{\boldsymbol{i}}_r\|^2 + \|\dot{\boldsymbol{i}}_u\|^2$$

Prądy:

$$\mathbf{i}_a \stackrel{\text{df}}{=} \sqrt{2} \operatorname{Re} \{ G_e U e^{j\omega_l t} \}$$

$$\mathbf{i}_r \stackrel{\text{df}}{=} \sqrt{2} \operatorname{Re} \{ jB_e U e^{j\omega_l t} \}$$

$$\mathbf{i}_u \stackrel{\text{df}}{=} \sqrt{2} \operatorname{Re} \{ A U^\# e^{j\omega_l t} \}$$

nazywa się

**„składowymi fizycznymi”**

wektora prądu liniowego odbiornika trójfazowego

Teorię mocy opartą na tym rozkładzie, nazwano

**„Teorią mocy składowych fizycznych prądu”**

**Ang.: „Currents’ Physical Components (CPC) power theory”**

## Równanie mocy odbiornika trójfazowego zasilanego symetrycznym i sinusoidalnym napięciem

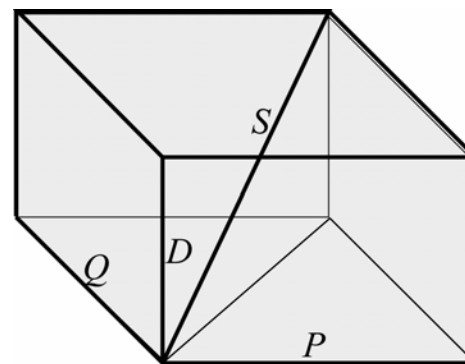
$$\|\boldsymbol{i}\|^2 = \|\boldsymbol{i}_a\|^2 + \|\boldsymbol{i}_r\|^2 + \|\boldsymbol{i}_u\|^2 \quad | \times \|\boldsymbol{u}\|^2$$

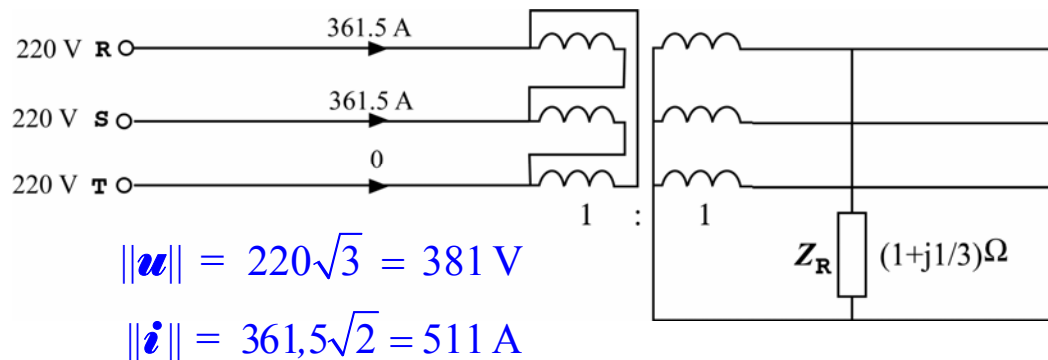
$$S^2 = P^2 + Q^2 + D^2$$

$$P \stackrel{\text{df}}{=} \|\boldsymbol{i}_a\| \|\boldsymbol{u}\| = G_e \|\boldsymbol{u}\|^2 \quad \text{Moc czynna}$$

$$Q \stackrel{\text{df}}{=} \pm \|\boldsymbol{i}_r\| \|\boldsymbol{u}\| = -B_e \|\boldsymbol{u}\|^2 \quad \text{Moc bierna}$$

$$D \stackrel{\text{df}}{=} \|\boldsymbol{i}_u\| \|\boldsymbol{u}\| = A \|\boldsymbol{u}\|^2 \quad \text{Moc niezrównoważenia}$$





$$Y_{RS} = \frac{1}{Z_R} = 0,90 - j0,30 = 0,95 e^{-j18^\circ} \text{ S}$$

$$Y_e = G_e + jB_e = Y_{RS} = 0,90 - j0,30 \text{ S}$$

$$\mathbf{A} = -\alpha^* Y_{RS} = 0,95 e^{j42^\circ} \text{ S}$$

$$\| \dot{\mathbf{i}}_a \| = G_e \| \mathbf{u} \| = 0,90 \times 381 = 343 \text{ A}$$

$$\| \dot{\mathbf{i}}_r \| = /B_e \| \mathbf{u} \| = 0,30 \times 381 = 114 \text{ A}$$

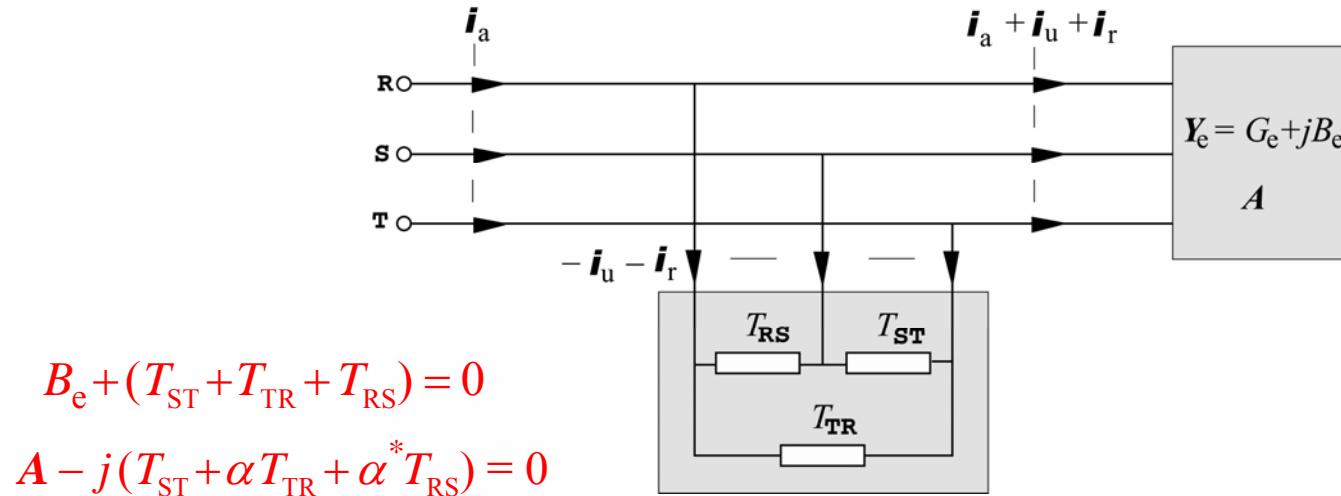
$$\| \dot{\mathbf{i}}_u \| = A \| \mathbf{u} \| = 0,95 \times 381 = 361 \text{ A}$$

$$\| \dot{\mathbf{i}} \| = \sqrt{\| \dot{\mathbf{i}}_a \|^2 + \| \dot{\mathbf{i}}_r \|^2 + \| \dot{\mathbf{i}}_u \|^2} = \sqrt{343^2 + 114^2 + 361^2} = 511 \text{ A}$$

$$S = 195 \text{ kVA}, \quad P = 131 \text{ kW}, \quad Q = 43 \text{ kVAr}, \quad D = 138 \text{ kVA}$$

## Kompensacja prądu biernego i prądu niezrównoważenia

$$\lambda = \frac{P}{S} = \frac{\|\boldsymbol{i}_a\|}{\sqrt{\|\boldsymbol{i}_a\|^2 + \|\boldsymbol{i}_u\|^2 + \|\boldsymbol{i}_r\|^2}}$$



Rozwiążanie ze względu na susceptancję kompensatora

$$T_{RS} = (\sqrt{3} \operatorname{Re}\{A\} - \operatorname{Im}\{A\} - B_e)/3$$

$$T_{ST} = (2 \operatorname{Im}\{A\} - B_e)/3$$

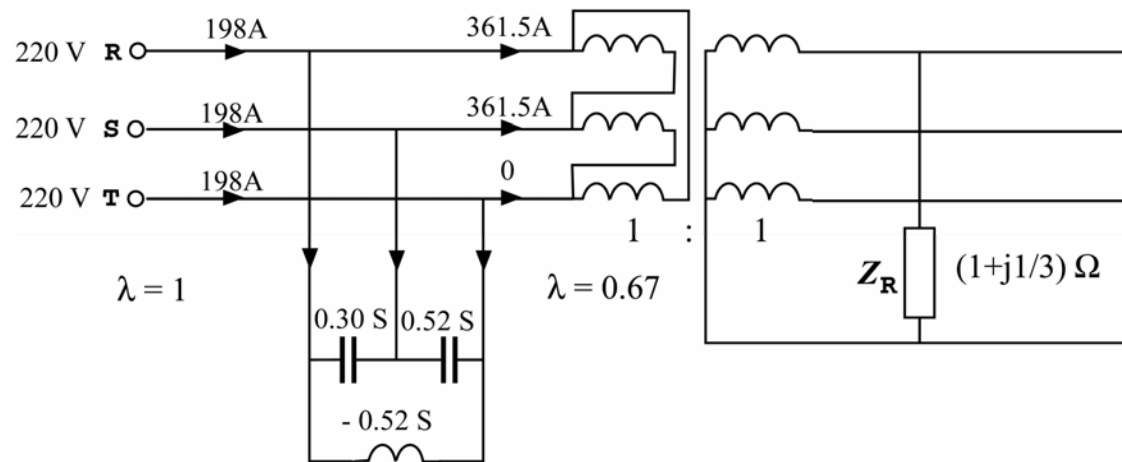
$$T_{TR} = (-\sqrt{3} \operatorname{Re}\{A\} - \operatorname{Im}\{A\} - B_e)/3$$

$$T_{RS} = (\sqrt{3} \operatorname{Re}\{A\} - \operatorname{Im}\{A\} - B_e) / 3 = 0.30 \text{ S}$$

$$T_{ST} = (2 \operatorname{Im}\{A\} - B_e) / 3 = 0.52 \text{ S}$$

$$T_{TR} = (-\sqrt{3} \operatorname{Re}\{A\} - \operatorname{Im}\{A\} - B_e) / 3 = -0.52 \text{ S}$$

$$\|\boldsymbol{i}_a\| = 343 \text{ A}, \quad \|\boldsymbol{i}_r\| = 114 \text{ A}, \quad \|\boldsymbol{i}_u\| = 361 \text{ A}$$



$$\|\boldsymbol{i}_a\| = 343 \text{ A}, \quad \|\boldsymbol{i}_r\| = 0, \quad \|\boldsymbol{i}_u\| = 0,$$

$$S^2 = P^2 + Q^2 + D^2$$

$$P \stackrel{\text{df}}{=} \| \mathbf{i}_a \| \| \mathbf{u} \| = G_e \| \mathbf{u} \|^2 \quad \text{Moc czynna}$$

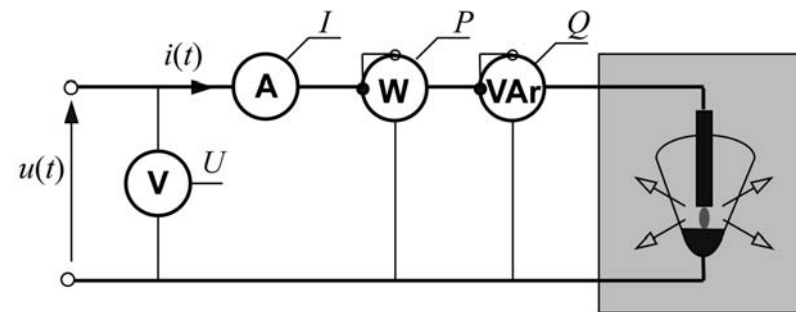
$$Q \stackrel{\text{df}}{=} \pm \| \mathbf{i}_r \| \| \mathbf{u} \| = -B_e \| \mathbf{u} \|^2 \quad \text{Moc bierna}$$

$$D \stackrel{\text{df}}{=} \| \mathbf{i}_u \| \| \mathbf{u} \| = A \| \mathbf{u} \|^2 \quad \text{Moc niezrównoważenia}$$

To równanie mocy jest poprawne tylko  
dla odbiornika liniowego, czasowo-niezmenniczego (LTI),  
zasilanego napięciem  
symetrycznym i sinusoidalnym

Aby je uogólnić na odbiorniki LTI z niesinusoidalnym napięciem zasilania,  
niezbędna jest poprawna teoria mocy obwodów jednofazowych  
zasilanych niesinusoidalnie.

Steinmetz experiment: 1892

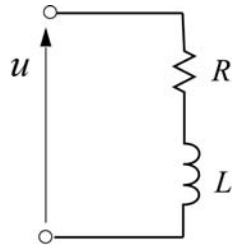


$$P^2 + Q^2 < S^2$$

?????

Poprawność równania mocy w warunkach niesinusoidalnych zakwestionował Steinmetz w 1892 roku,

Do lat osiemdziesiątych, po 90 latach rozwoju teorii mocy, jej stan wyglądał jak poniżej



1927: Budeanu:  $S^2 = P^2 + Q_B^2 + D^2$

1931: Fryze:  $S^2 = P^2 + Q_F^2$

1971: Shepherd:  $S^2 = S_R^2 + Q_S^2$

1975: Kusters:  $S^2 = P^2 + Q_K^2 + Q_r^2$

1979: Depenbrock:  $S^2 = P^2 + Q_l^2 + V^2 + N^2$

1984: Czarnecki:  $S^2 = P^2 + Q^2 + D_s^2$

$$Q_B \stackrel{\text{df}}{=} \sum_{n=1}^{\infty} U_n I_n \sin \varphi_n$$

$$Q_F \stackrel{\text{df}}{=} \|u\| \|i_{rF}\|$$

$$Q_S \stackrel{\text{df}}{=} \|u\| \|i_{rS}\|$$

$$Q_K \stackrel{\text{df}}{=} \|u\| \|i_{rC}\|$$

**1927**

C.I. Budeanu, Professor of Bucharest University, Romania, introduced definition of the reactive power

$$Q = Q_B \stackrel{\text{df}}{=} \sum_{n=1}^{\infty} U_n I_n \sin \varphi_n$$

$$P^2 + Q_B^2 \leq S^2$$

Budeanu concluded that there is also other power associated with the waveform distortion, and introduced a new power quantity, called

### **Distortion Power**

$$D \stackrel{\text{df}}{=} \sqrt{S^2 - (P^2 + Q_B^2)}$$

Budeanu's power equation has the form:

$$S^2 = P^2 + Q_B^2 + D^2$$

**1987**

**L.S. Czarnecki: What is Wrong with the Budeanu's Concept of Reactive and Distortion Powers and Why it should be Abandoned,**  
*IEEE Trans. on Instrumentation and Measurements*

**Question:** Is the Budeanu's Reactive Power a **measure of energy oscillation?**

For a single harmonic:

$$u_n(t) = \sqrt{2} U_n \cos n\omega_1 t$$

$$i_n(t) = \sqrt{2} I_n \cos(n\omega_1 t - \varphi_n)$$

The instantaneous power:

$$p_n(t) = \frac{dW_n}{dt} = u_n(t) i_n(t) = P_n (1 + \cos 2n\omega_1 t) + Q_n \sin 2n\omega_1 t$$

$$P_n = U_n I_n \cos \varphi_n \quad Q_n = U_n I_n \sin \varphi_n$$

**$Q_n$  is an amplitude of the energy oscillation**

At distorted voltages and currents:

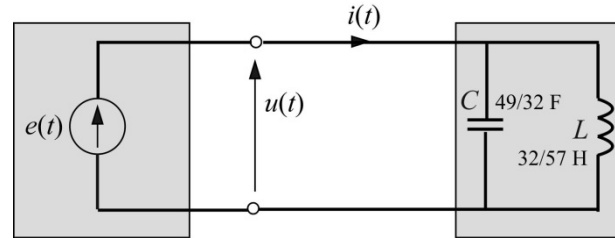
$$u(t) = \sum_{n=0}^N u_n(t), \quad i(t) = \sum_{n=0}^N i_n(t) \quad \Rightarrow \quad Q_B = \sum_{n=1}^N U_n I_n \sin \varphi_n = \sum_{n=1}^N Q_n$$

$Q_n > 0$ ,  $Q_B$  could be equal to zero, even if  $Q_n \neq 0$

**Budeanu's Reactive Power is no measure of energy oscillation**

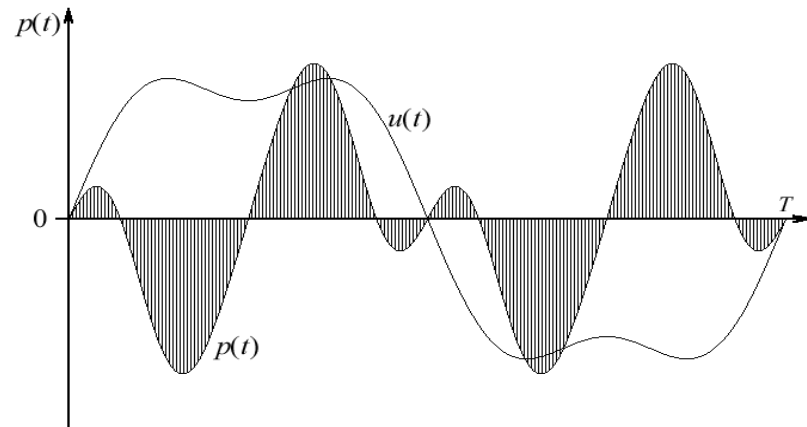
## Why Budeanu definition of reactive power Q is wrong?

$$u(t) = \sqrt{2}(100 \sin \omega_l t + 25 \sin 3\omega_l t) \text{ V}$$



$$i(t) = \sqrt{2} [25 \sin(\omega_l t - 90^\circ) + 100 \sin(3\omega_l t + 90^\circ)] \text{ A}$$

$$Q = \sum_{n=1}^{\infty} U_n I_n \sin \varphi_n = 100 \times 25 \times 1 + 00 \times 25 \times (-1) = 0$$



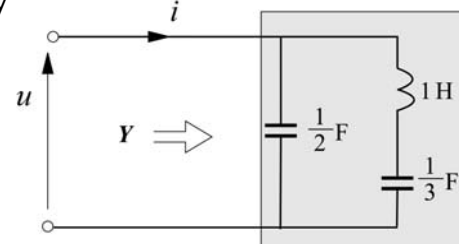
**There are energy oscillations in spite of zero Budeanu's reactive power Q**

## Why Budeanu's definition of Distortion power D is wrong?

$$D \stackrel{\text{df}}{=} \sqrt{S^2 \cdot P^2 \cdot Q^2} = \sqrt{\frac{1}{2} \sum_{r \in N} \sum_{s \in N} U_r^2 U_s^2 |Y_r - Y_s|^2}$$

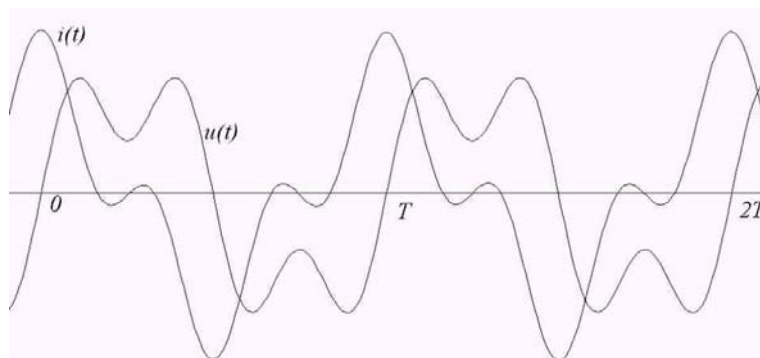
$D = 0$  if for each r, s:

$$u(t) = \sqrt{2}(100 \sin \omega_1 t + 50 \sin 3\omega_1 t) \text{ V}$$



$$Y_1 = Y_3 = 1 e^{j\frac{\pi}{2}} S$$

$$i(t) = \sqrt{2} [100 \sin(\omega_1 t + \frac{\pi}{2}) + 50 \sin(3\omega_1 t + \frac{\pi}{2})] \text{ A}$$



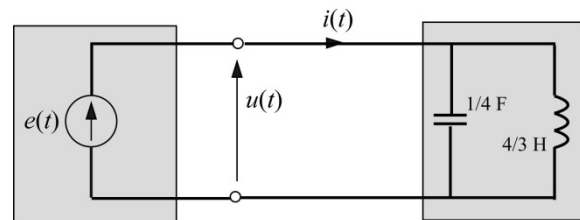
**The load current is distorted in spite of zero distortion power ,D**

**The load current is not distorted, meaning**

$$i(t) = a u(t - \tau)$$

$$\text{if } I_n = a U_n e^{-jn\tau} = Y_n U_n,$$

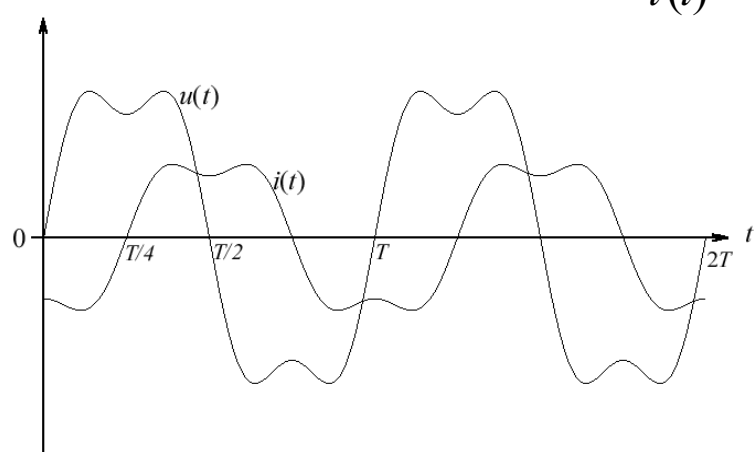
$$u(t) = \sqrt{2}(100 \sin \omega_1 t + 30 \sin 3\omega_1 t) \text{ V}$$



$$Y_1 = j\frac{1}{4} - j\frac{3}{4} = \frac{1}{2} e^{-j\frac{\pi}{2}} S$$

$$Y_3 = j \frac{3}{4} - j \frac{1}{4} = \frac{1}{2} e^{j\frac{\pi}{2}} = \frac{1}{2} e^{-j3\frac{\pi}{2}} S$$

$$i(t) = \sqrt{2} [50 \sin(\omega_l t - \frac{\pi}{2}) + 15 \sin(3\omega_l t - \frac{3\pi}{2})] = \frac{1}{2} u(t - \frac{T}{4}),$$

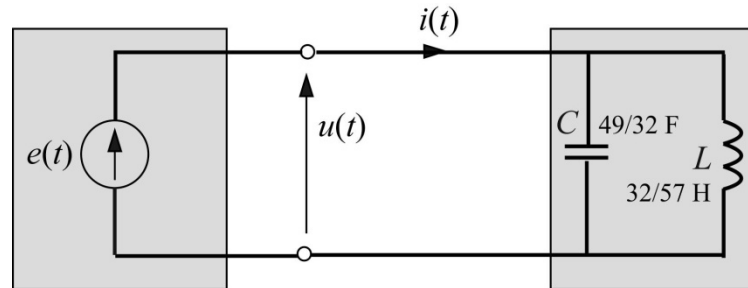


$$D = U_1 U_3 / |Y_1 - Y_3| = 100 \cdot 25 \cdot / \frac{1}{2} e^{-j\frac{\pi}{2}} - \frac{1}{2} e^{j3\frac{\pi}{2}} / = 2.5 \text{ kVA}$$

**Load current is not distorted in spite of non zero distortion power,  $D$**

## Power factor improvement and Budeanu's reactive power

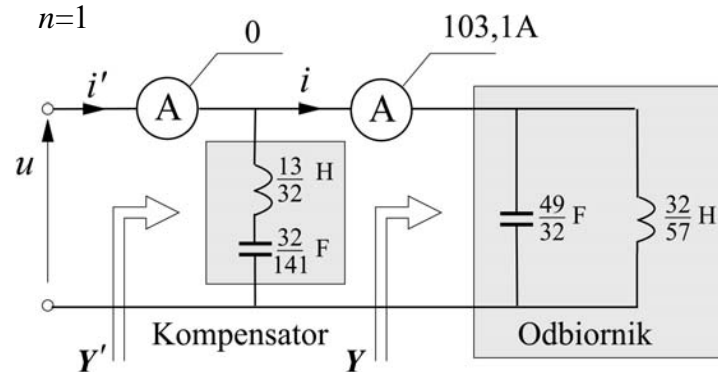
$$\| i \| = \sqrt{\sum_{n=0}^N \| i_n \|^2} = \sqrt{\sum_{n=0}^N \left(\frac{P_n}{U_n}\right)^2 + \sum_{n=1}^N \left(\frac{Q_n}{U_n}\right)^2}, \quad \text{but in Budeanu Theory: } Q = \sum_{n=1}^N Q_n$$



$$u(t) = \sqrt{2}(100 \sin \omega_1 t + 25 \sin 3\omega_1 t) \text{ V}$$

$$i(t) = \sqrt{2} [25 \sin (\omega_1 t - 90^\circ) + 100 \sin (3\omega_1 t + 90^\circ)] \text{ A}$$

$$Q = \sum_{n=1}^{\infty} U_n I_n \sin \varphi_n = 100 \times 25 \times 1 + 00 \times 25 \times (-1) = 0$$



**Budeanu's reactive power is useless for compensator design**

1931

S. Fryze, Professor of Lwow University, Poland, defined the reactive power  
in a time-domain, based on

the load current orthogonal decomposition into  
active and reactive currents

$$i = i_a + i_{rF}$$

$$i_a(t) \stackrel{\text{df}}{=} \frac{P}{\|u\|^2} u(t) \stackrel{\text{df}}{=} G_e u(t), \quad i_{rF}(t) \stackrel{\text{df}}{=} i(t) - i_a(t)$$

$$\frac{1}{T} \sum_0^T i_a(t) i_{rF}(t) dt = (i_a, i_{rF}) = 0$$

$$\|i\|^2 = \|i_a\|^2 + \|i_{rF}\|^2$$

Fryze's Power Equation:  $S^2 = P^2 + Q_F^2$

Fryze's definition of reactive power:  $Q_F \stackrel{\text{df}}{=} |u| \|i_{rF}\|$

1997

L.S. Czarnecki: „Budeanu and Fryze: Two frameworks for Interpreting Power Properties  
of Circuits with Nonsinusoidal Voltages and Currents,”

*Archiv fur Elektrotechnik*

### Fryze's Power Equation

$$S^2 = P^2 + Q_F^2$$

$$i = i_a + i_{rF}$$

$i_a$  - Active current

$i_{rF}$  - Reactive current

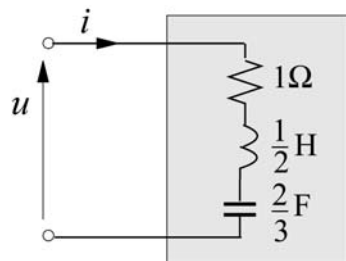
We know that the following phenomena may contribute to the power factor deterioration

1. Energy oscillations
2. Bi-directional flow of active power
3. Harmonic generation in the load
4. Change of the load conductance with frequency
5. Load unbalance

Fryze's Power Theory does not explain the effect of these power phenomena on the power factor

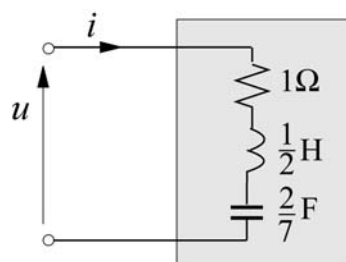
Question: Does the Fryze's Power Theory provide fundamentals for the power factor improvement?

$$u(t) = 100\sqrt{2} (\sin \omega_1 t + \sin 3\omega_1 t) \text{ V}$$



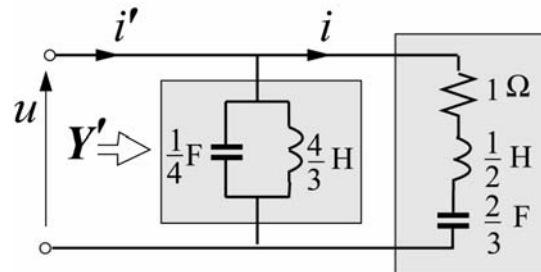
$$P = 10 \text{ kW}$$

$$Q = 10 \text{ kVAr}$$



$$S = 14.1 \text{ kVA}$$

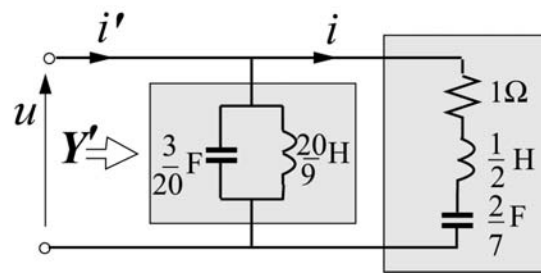
$$\lambda = 0.71$$



$$Q = 0$$

$$S = 10 \text{ kVA}$$

$$\lambda = 1$$



$$Q = 8 \text{ kVAr}$$

$$S = 12.7 \text{ kVA}$$

$$\lambda = 0.78$$

These loads cannot be distinguished with respect to Fryze's powers.  
They differ as to the possibility of their compensation

### Fryze's Power Theory

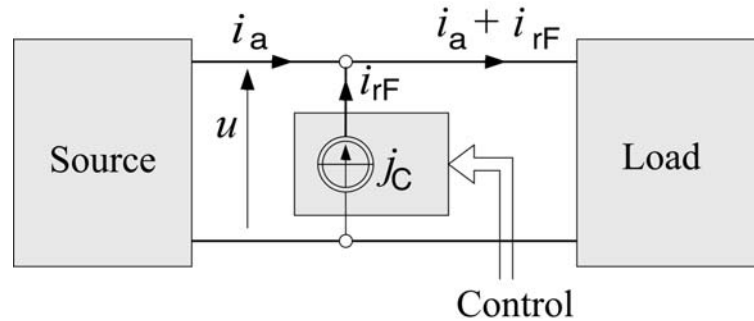
does not enable us to draw conclusions as to the possibility of the load compensation with a reactive compensator

Opinion: Fryze's power theory provides fundamentals  
for switching compensator control

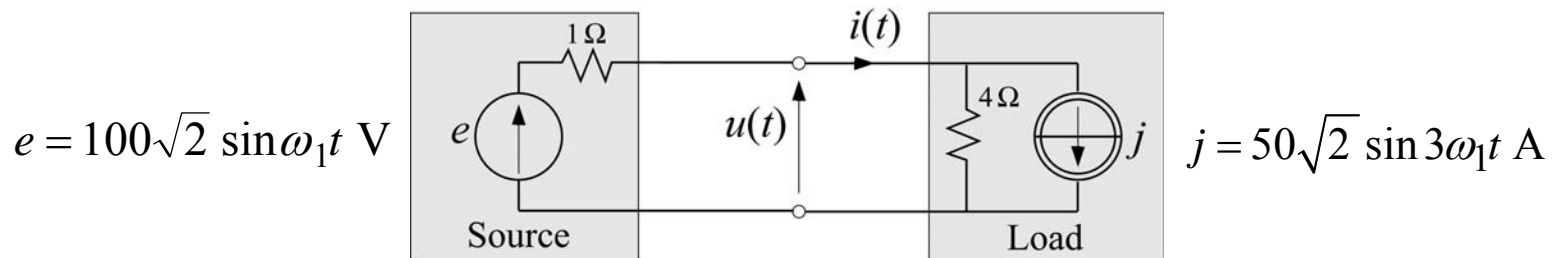
$$i = i_a + i_{rF}$$

$i_a$  - active current is useful component

$i_{rF}$  - reactive current is useless component



## Illustration:



$$i = \sqrt{2}(20 \sin \omega_1 t + 40 \sin 3\omega_1 t) \text{ A}$$

$$u = \sqrt{2}(80 \sin \omega_1 t - 40 \sin 3\omega_1 t) \text{ V}$$

$$P = 1600 - 1600 = 0$$

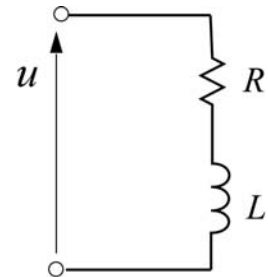
$$i_a(t) = \frac{P}{\|u\|^2} u(t) = 0$$

According to Fryze's Power Theory,  
total compensation requires that the current  $i_{rF}$  is reduced to zero

This is a wrong conclusion

Only the 3rd order current harmonic should be compensated

$$u(t) = U_0 + \sqrt{2} \sum_{n=1}^{\infty} U_n \cos(n\omega_l t + \alpha_n)$$



1927: Budeanu:  $S^2 = P^2 + Q_B^2 + D^2$        $Q_B \stackrel{\text{df}}{=} \sum_{n=1}^{\infty} U_n I_n \sin \varphi_n$

1931: Fryze:  $S^2 = P^2 + Q_F^2$        $Q_F \stackrel{\text{df}}{=} \|u\| \|i_{rF}\|$

1971: Shepherd:  $S^2 = S_R^2 + Q_S^2$        $Q_S \stackrel{\text{df}}{=} \|u\| \|i_{rS}\|$

1975: Kusters:  $S^2 = P^2 + Q_K^2 + Q_r^2$        $Q_K \stackrel{\text{df}}{=} \|u\| \|i_{rC}\|$

1979: Depenbrock:  $S^2 = P^2 + Q_1^2 + V^2 + N^2$

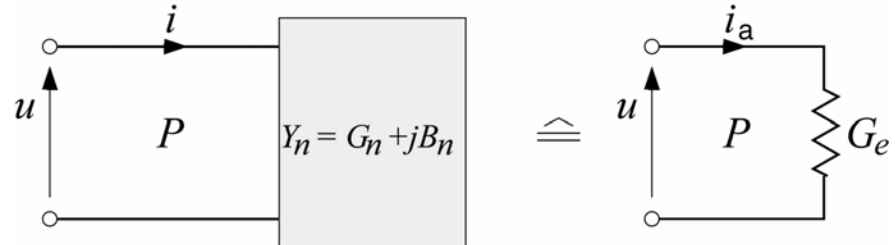
1984 r.  $S^2 = P^2 + Q^2 + D_s^2$

Czarnecki:

## Current Physical Components (CPC) Power Theory of Linear Single-Phase Circuits with Nonsinusoidal Voltages and Currents

$$u = U_0 + \sqrt{2} \operatorname{Re} \sum_{n=1}^{\infty} U_n e^{jn\omega_l t}$$

$$i = G_0 U_0 + \sqrt{2} \operatorname{Re} \sum_{n=1}^{\infty} Y_n U_n e^{jn\omega_l t}$$



$$\mathbf{i} = \mathbf{i}_a + \mathbf{i}_s + \mathbf{i}_r$$

$$i_a = G_e u, \quad G_e = \frac{P}{\|u\|^2}$$

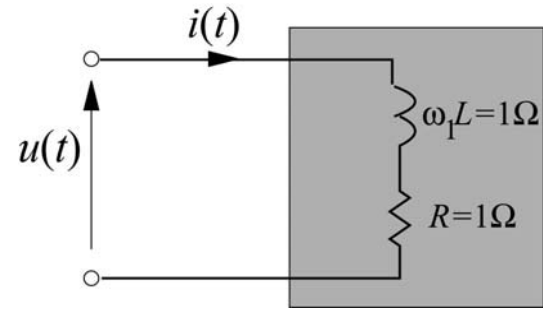
**Active current**

$$i_s = (G_0 - G_e)U_0 + \sqrt{2} \operatorname{Re} \sum_{n=1}^{\infty} (G_n - G_e)U_n e^{jn\omega_l t}$$

**Scattered current**

$$i_r = \sqrt{2} \operatorname{Re} \sum_{n=1}^{\infty} jB_n U_n e^{jn\omega_l t}$$

**Reactive current**



$$G_n = \operatorname{Re}\{Y_n\} = \operatorname{Re}\frac{1}{R + jn\omega_1 L} = \frac{R}{R^2 + (n\omega_1 L)^2}$$

$$G_0 = 1 \text{ S}, \quad G_1 = 0,5 \text{ S}, \quad G_2 = 0,2 \text{ S}, \quad G_3 = 0,1 \text{ S}, \quad G_4 = 0,06 \text{ S}.$$

Currents  $i_a$ ,  $i_s$  and  $i_r$  are mutually orthogonal

$$i = i_a + i_s + i_r$$

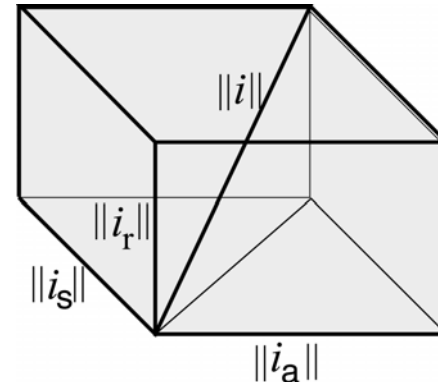
thus

$$\|i\|^2 = \|i_a\|^2 + \|i_s\|^2 + \|i_r\|^2$$

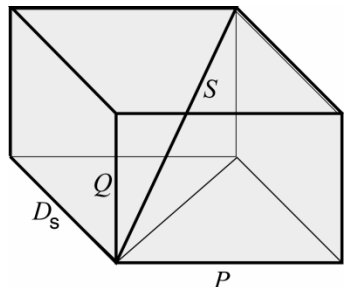
$$\|i_a\| = G_e \|u\|$$

$$\|i_s\| = \sqrt{\sum_{n=0}^{\infty} (G_n - G_e)^2 U_n^2}$$

$$\|i_r\| = \sqrt{\sum_{n=1}^{\infty} B_n^2 U_n^2}$$



Multiplying the current RMS equation by  $\|u\|^2$

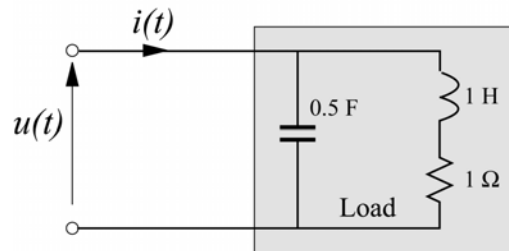


$$S^2 = P^2 + D_s^2 + Q^2$$

This decomposition and power equation  
was developed without any approximation consequently,  
this decomposition is valid independently on the level of harmonic distortion

### Illustration

$$u(t) = 50 + \sqrt{2} \operatorname{Re}\{100e^{j\omega_1 t} + 20e^{j5\omega_1 t}\} \text{ V}, \quad \omega_1 = 1 \text{ rad/s} \quad \|u\| = 113.58 \text{ V}$$



$$\begin{aligned} Y_0 &= 1 \text{ S} \\ Y_1 &= 0.5 \text{ S} \\ Y_5 &= 0.04 + j2.31 \text{ S} \\ P &= \sum_{n=0,1,5} G_n U_n^2 = 7516 \text{ W} \end{aligned}$$

$$i(t) = 50 + \sqrt{2} \operatorname{Re}\{50e^{j\omega_1 t} + 46.2e^{j89^\circ} e^{j5\omega_1 t}\} \text{ A}, \quad \|i\| = \sqrt{50^2 + 50^2 + 46.2^2} = 84.47 \text{ A}$$

$$G_e = \frac{P}{\|u\|^2} = 0.5826 \text{ S}$$

$$\|i_a\| = G_e \|u\| = 66.17 \text{ A}$$

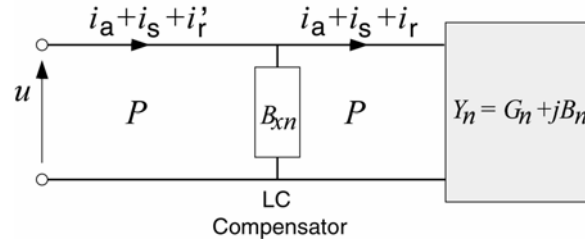
$$\|i_s\| = \sqrt{\sum_{n=0,1,5} (G_n - G_e)^2 U_n^2} = 24.93 \text{ A}$$

$$\|i\| = \sqrt{\|i_a\|^2 + \|i_s\|^2 + \|i_r\|^2} = 84.47 \text{ A}$$

$$\|i_r\| = \sqrt{\sum_{n=1,5} B_n^2 U_n^2} = 46.2 \text{ A}$$

In real systems the scattered current has relatively small value

## Reactive current compensation:

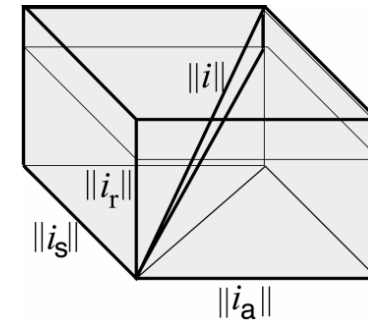


Lossless shunt reactive compensators do not change active power,  $P$ , and conductance  $G_n$ .

$$G_e = \frac{P}{\|u\|^2} = \text{const.}$$

$$\|i_a\| = G_e \|u\| = \text{const.}$$

$$\|i_s\| = \sqrt{\sum_{n=0}^{\infty} (G_n - G_e)^2 U_n^2} = \text{const.}$$



The RMS value of the reactive current changes to:

$$\|i_r\| = \sqrt{\sum_{n=1}^{\infty} (B_n + B_{xn})^2 U_n^2}$$

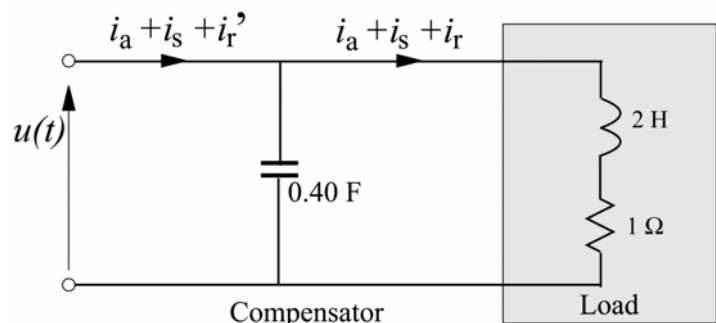
A total compensation of the reactive current:

$$\|i_r\| = 0, \text{ if for each } n, \text{ such that } U_n \neq 0, \quad B_{xn} = -B_n$$

Conclusion: This decomposition solves the problem  
of a shunt reactive compensation of linear loads

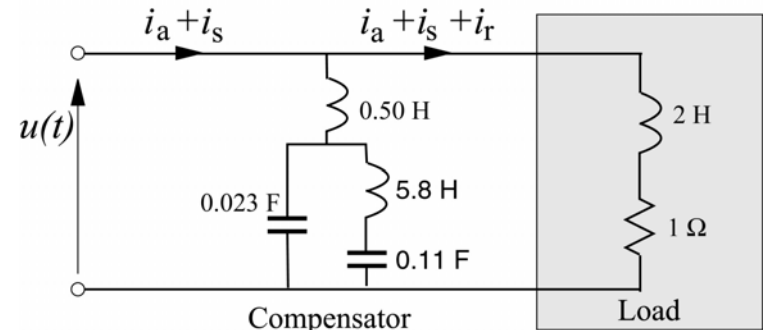
### Illustration

$$u(t) = \sqrt{2} \operatorname{Re}\{100e^{j\omega_1 t} + 5e^{j5\omega_1 t}\} \text{ V} \quad \omega_1 = 1 \text{ rad/s}$$



$$\begin{aligned} Y_1 &= 0.20 - j0.40 \text{ S} \\ Y_5 &= 0.01 - j0.10 \text{ S} \end{aligned}$$

$$\begin{aligned} Y_1' &= 0.20 \text{ S} \\ Y_5' &= 0.01 + j1.9 \text{ S} \end{aligned}$$



$$\begin{aligned} Y_1' &= 0.20 \text{ S} \\ Y_5' &= 0.01 \text{ S} \end{aligned}$$

$$i(t) = \sqrt{2} \operatorname{Re}\{20e^{j\omega_1 t} + 9.5e^{j89^\circ} e^{j5\omega_1 t}\} \text{ A} \quad i(t) = \sqrt{2} \operatorname{Re}\{20e^{j\omega_1 t} + 0.05 e^{j5\omega_1 t}\} \text{ A}$$

$$\|i_a\| = 19.98 \text{ A}$$

$$\|i_a\| = 19.98 \text{ A}$$

$$\|i_s\| = 0.95 \text{ A}$$

$$\|i_s\| = 0.95 \text{ A}$$

$$\|i_r'\| = 9.50 \text{ A}$$

$$\|i_r'\| = 0$$

### Power factor

$$\lambda = \frac{P}{S} = \frac{P}{\sqrt{P^2 + D_s^2 + Q^2}} = \frac{\|i_a\|}{\sqrt{\|i_a\|^2 + \|i_s\|^2 + \|i_r\|^2}}$$

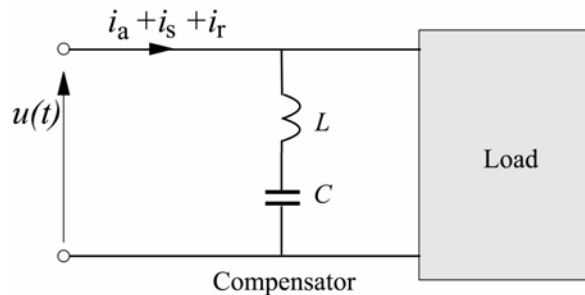
$$\lambda = 0.867$$

$$\lambda = 0.999$$

## Reactive current minimization

Total compensation requires very complex compensators, therefore, it has only a theoretical value.

The reactive current can be minimized by two-element reactive compensator



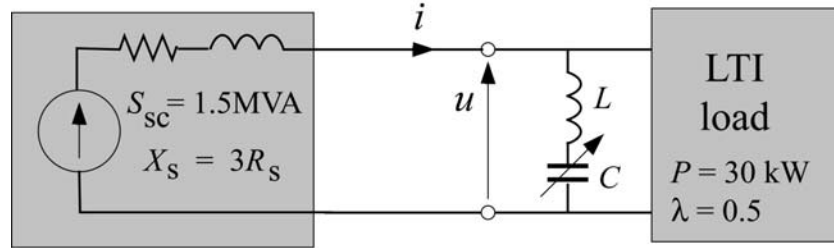
$$B_{xn} = \frac{n\omega_1 C}{1 - n^2\omega_1^2 LC}$$

$$\|i_r\| = \text{Min., if } \frac{d}{dC} \|i_r\| = 0 \quad \gg \quad C_{k+1} = - \frac{\sum_{n \in N} \frac{n B_n U_n^2}{(1 - n^2 \omega_1^2 LC_k)^2}}{\omega_1 \sum_{n \in N} \frac{n^2 B_n U_n^2}{(1 - n^2 \omega_1^2 LC_k)^3}} \rightarrow C_{\text{opt}}$$

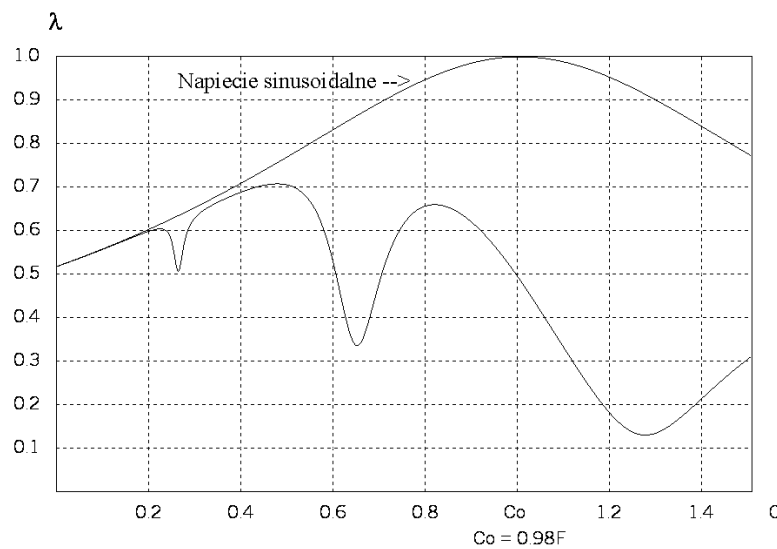
The inductance  $L$  can be chosen such that no resonance occurs.  
The circuit can operate at close to unity power factor

## Illustration

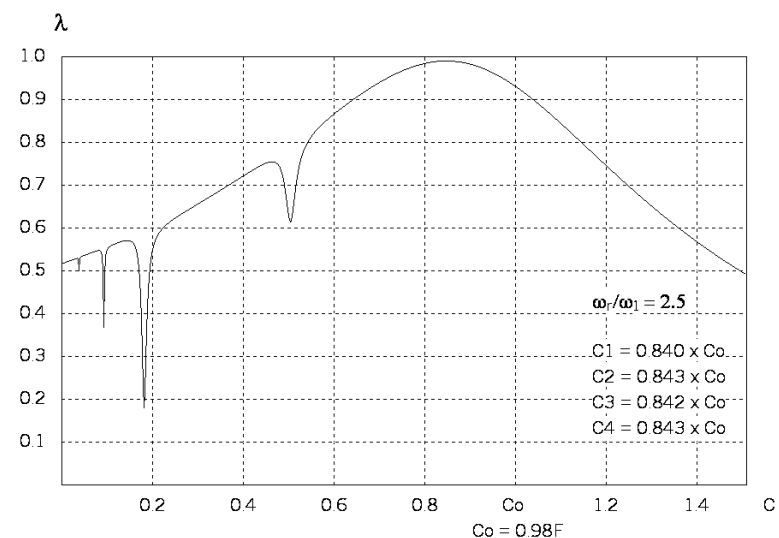
$$\begin{aligned} E_3 &= 1\% E_1 \\ E_5 &= 5\% E_1 \\ E_7 &= 2\% E_1 \\ E_{11} &= 1\% E_1 \end{aligned}$$



$$L = 0$$

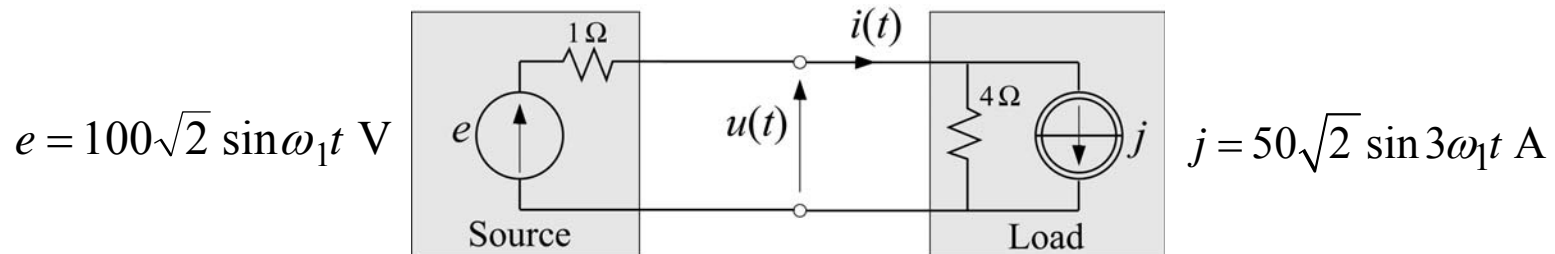


$$L \text{ such that } \omega_r = 2.5\omega_1$$



$$C_{k+1} = - \frac{\sum_{n \in N} \frac{n B_n U_n^2}{(1 - n^2 \omega_1^2 L C_k)^2}}{\omega_1 \sum_{n \in N} \frac{n^2 B_n U_n^2}{(1 - n^2 \omega_1^2 L C_k)^3}} \rightarrow C_{\text{opt}} = 0.85 C_0 \text{ in three steps of iteration}$$

## Moce w owołach z odbiornikami generującymi harmoniczne (HGL)



$$i = \sqrt{2}(20 \sin \omega_1 t + 40 \sin 3\omega_1 t) \text{ A}$$

$$u = \sqrt{2}(80 \sin \omega_1 t - 40 \sin 3\omega_1 t) \text{ V}$$

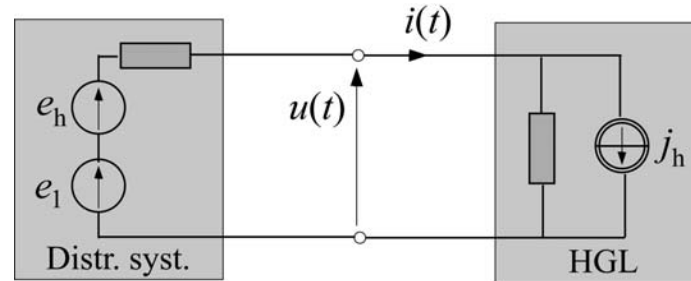
$$\|i\| = 44.72 \text{ A}, \quad \|u\| = 89.44 \text{ V}, \quad S = 4000 \text{ VA}$$

$$P = 1600 - 1600 = 0, \quad Q = 0, \quad D_s = 0, \quad \text{lecz } S \neq 0$$

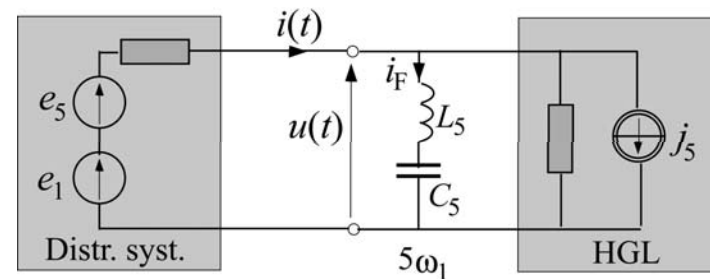
Równanie:

$$S^2 = P^2 + D_s^2 + Q^2$$

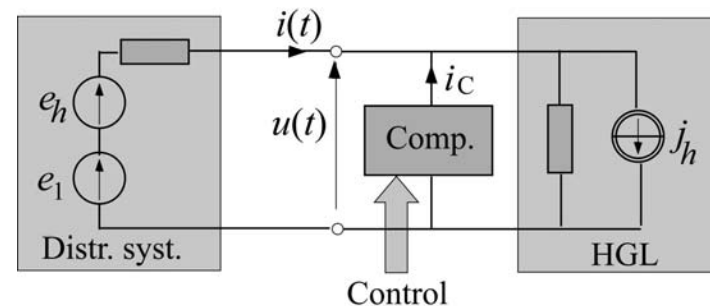
**nie jest poprawne!!!!**

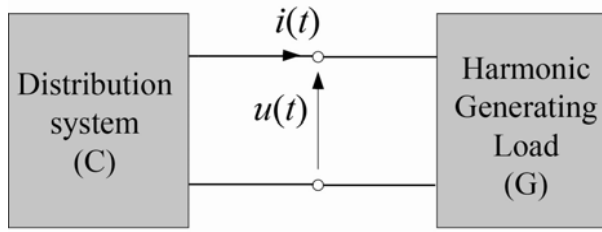


Lokalizacja źródeł harmonicznych ma krytyczne znaczenie dla projektowania filtrów harmonicznych



i kompensatorów harmonicznych





$$u = \sum_{n \in N} u_n, \quad i = \sum_{n \in N} i_n, \quad P = \sum_{n \in N} P_n$$

$$P_n = U_n I_n \cos \varphi_n \quad \begin{cases} \geq 0 \\ < 0 \end{cases}$$

Ze względu na kierunek przepływu energii harmonicznych  
zbiór rzędów harmonicznych  $N$  może być rozłożony na dwa podzbiory  
 $N_C$ , and  $N_G$ ,

Jesli  $|\varphi_n| \leq 90^\circ$ ,  $n \in N_C$

Jesli  $|\varphi_n| > 90^\circ$ ,  $n \in N_G$

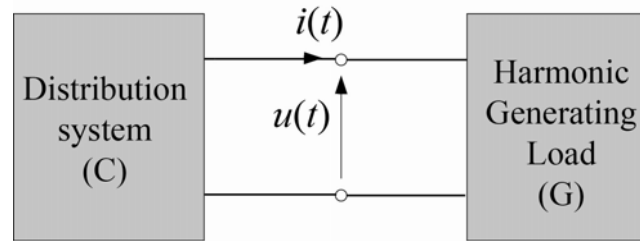
$$\sum_{n \in N_C} u_n \stackrel{\text{df}}{=} u_C, \quad \sum_{n \in N_C} i_n \stackrel{\text{df}}{=} i_C, \quad \sum_{n \in N_C} P_n \stackrel{\text{df}}{=} P_C$$

$$\sum_{n \in N_G} u_n \stackrel{\text{df}}{=} -u_G, \quad \sum_{n \in N_G} i_n \stackrel{\text{df}}{=} i_G, \quad \sum_{n \in N_G} P_n \stackrel{\text{df}}{=} -P_G$$

$$u = u_C - u_G, \quad i = i_C + i_G, \quad P = P_C - P_G$$

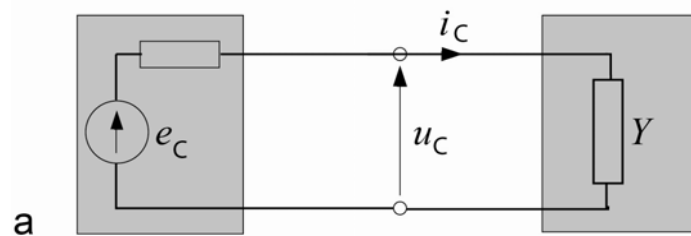
$$\|u\|^2 = \|u_C\|^2 + \|u_G\|^2$$

$$\|i\|^2 = \|i_C\|^2 + \|i_G\|^2$$



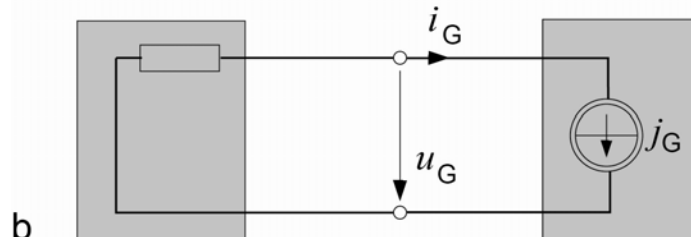
Obwody równoważne:

Dla  $n \in N_C$



$$Y_n \stackrel{\text{df}}{=} G_n + jB_n = \frac{I_n}{U_n}$$

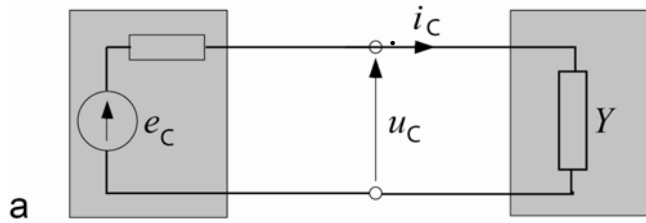
Dla  $n \in N_G$



$$i = i_C + i_G$$

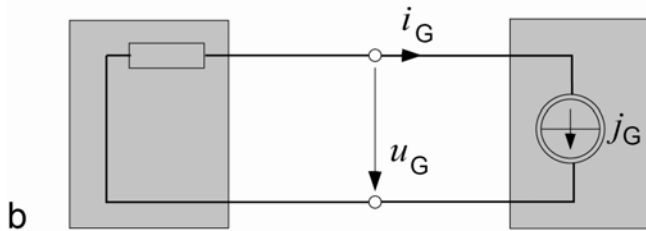
Rozkład prądu według CPC:

Dla  $n \in N_C$



$$Y_n \stackrel{\text{df}}{=} G_n + jB_n = \frac{\mathbf{I}_n}{\mathbf{U}_n}$$

Dla  $n \in N_G$



$$G_{eC} \stackrel{\text{df}}{=} \frac{P_C}{\|u_C\|^2}$$

$$i_{aC} \stackrel{\text{df}}{=} G_{eC} u_C$$

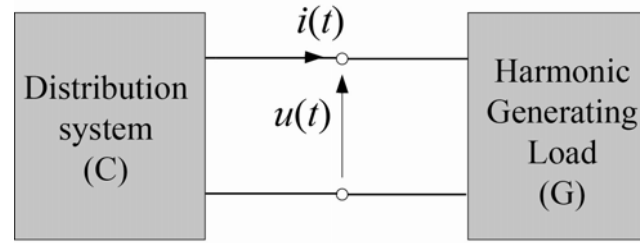
$$i = i_{aC} + i_{sC} + i_{rC} + i_G$$

Rozkład prądu według Fryzego:

$$G_{eF} \stackrel{\text{df}}{=} \frac{P}{\|u\|^2}$$

$$i_{aF} \stackrel{\text{df}}{=} G_{eF} u$$

$$i = i_{aF} + i_{rF},$$



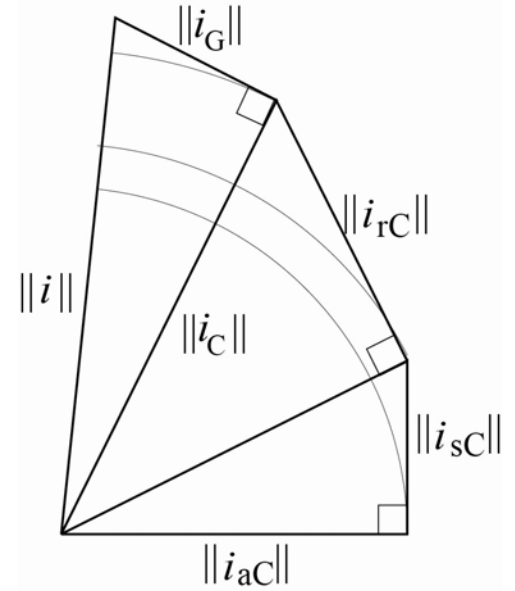
Składowe fizyczne prądu odbiornika generującego harmoniczne:

$$i = i_{aC} + i_{sC} + i_{rC} + i_G$$

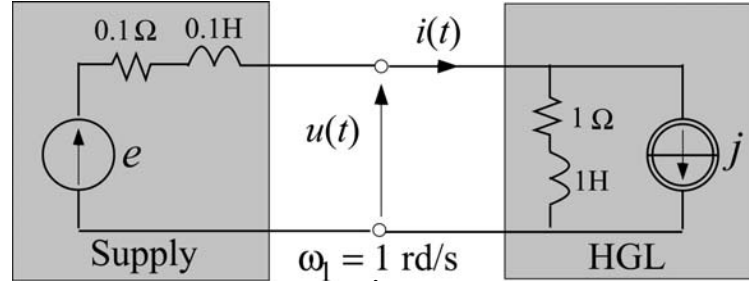
to jest stwarzyszone z odrębnymi zjawiskami fizycznymi

Prądy te są wzajemnie ortogonalne

$$\|i\|^2 = \|i_{aC}\|^2 + \|i_{sC}\|^2 + \|i_{rC}\|^2 + \|i_G\|^2$$



## Przykład



$$e = 220\sqrt{2} \cos \omega_1 t + 15\sqrt{2} \cos 3\omega_1 t \text{ V} \quad . \quad j = 20\sqrt{2} \cos 5\omega_1 t + 15\sqrt{2} \cos 7\omega_1 t \text{ A}$$

$$N_C = \{1, 3\}$$

$$U_1 = 200.0 \text{ V}, \quad I_1 = 141.42 e^{-j45^\circ} \text{ A} \quad Y_1 = 0.50 - j0.50 \text{ S}$$

$$U_3 = 13.64 e^{j8.4^\circ} \text{ V}, \quad I_3 = 4.31 e^{-j71.6^\circ} \text{ A} \quad Y_3 = 0.10 - j0.30$$

$$U_5 = 9.27 e^{-j101.3^\circ} \text{ V}, \quad I_5 = 18.18 \text{ A}$$

$$N_G = \{5, 7\}$$

$$U_7 = 9.64 e^{-j98.1^\circ} \text{ V}, \quad I_7 = 13.64 \text{ A}$$

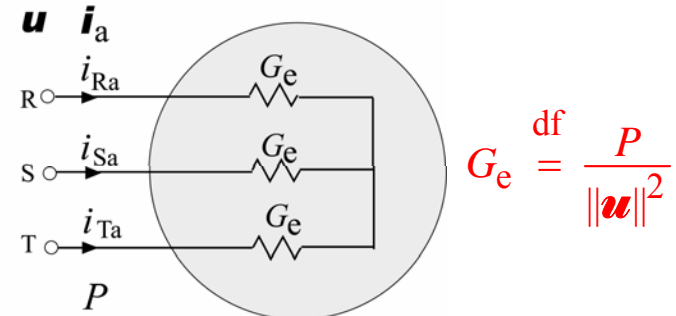
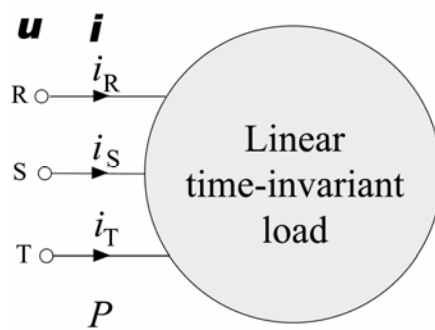
$$P_C = \operatorname{Re}\{\mathbf{U}_1 \mathbf{I}_1^*\} + \operatorname{Re}\{\mathbf{U}_3 \mathbf{I}_3^*\} = 20010 \text{ W}, \quad \|u_C\| = \sqrt{U_1^2 + U_3^2} = 200.46 \text{ V}, \quad G_{eC} = \frac{P_C}{\|u_C\|^2} = 0.4979 \text{ S}$$

$$\|i_{aC}\| = \frac{P_C}{\|u_C\|} = 99.84 \text{ A}, \quad \|i_{sC}\| = \sqrt{\sum_{n=1,3} [(G_n - G_{eC}) U_n]^2} = 5.44 \text{ A}, \quad \|i_{rC}\| = \sqrt{\sum_{n=1,3} (B_n U_n)^2} = 100.08 \text{ A}$$

$$\|i_G\| = \sqrt{\sum_{n=5,7} I_n^2} = 22.73 \text{ A}$$

## Składowe fizyczne prądu odbiornika LTI zasilanego w trójprzewodowo symetrycznym niesinusoidalnym napięciem

$$\mathbf{u} = \sqrt{2} \operatorname{Re} \sum_{n \in N} U_n e^{jn\omega_l t}$$



$$\mathbf{i}_a \stackrel{\text{df}}{=} G_e \mathbf{u} \quad \text{Active current:}$$

Składowa bezużyteczna prądu:

$$\mathbf{i} - \mathbf{i}_a = \sum_{n \in N} \mathbf{i}_n - \mathbf{i}_a = \sum_{n \in N} (\mathbf{i}_{an} + \mathbf{i}_{rn} + \mathbf{i}_{un}) - \mathbf{i}_a = \left( \sum_{n \in N} \mathbf{i}_{an} - \mathbf{i}_a \right) + \sum_{n \in N} \mathbf{i}_{rn} + \sum_{n \in N} \mathbf{i}_{un}$$

Składowa bezużyteczna prądu:

$$\boldsymbol{i} - \boldsymbol{i}_a = \sum_{n \in N} \boldsymbol{i}_n - \boldsymbol{i}_a = \sum_{n \in N} (\boldsymbol{i}_{an} + \boldsymbol{i}_{rn} + \boldsymbol{i}_{un}) - \boldsymbol{i}_a = (\sum_{n \in N} \boldsymbol{i}_{an} - \boldsymbol{i}_a) + \sum_{n \in N} \boldsymbol{i}_{rn} + \sum_{n \in N} \boldsymbol{i}_{un}$$

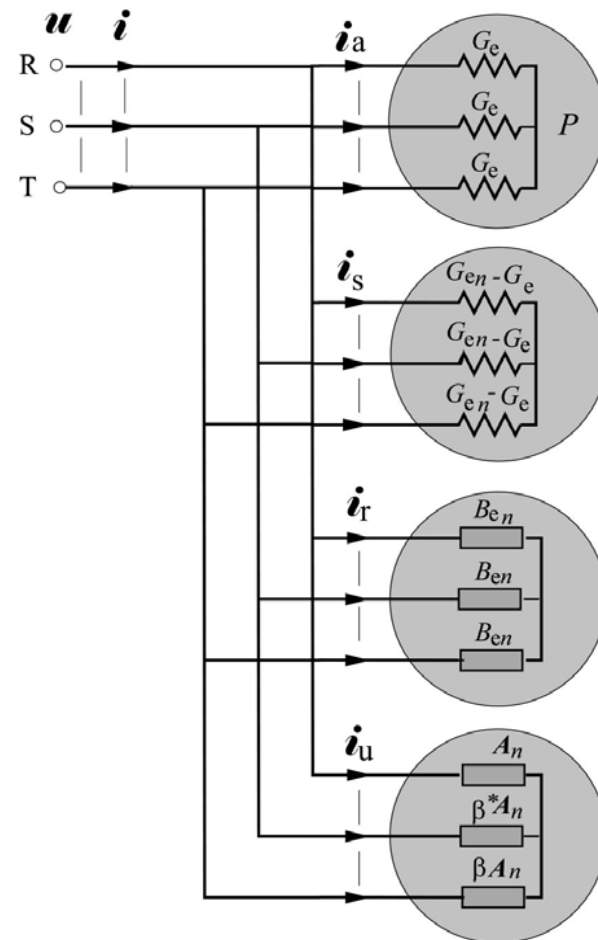
$$\boldsymbol{i}_s \stackrel{\text{df}}{=} \sum_{n \in N} \boldsymbol{i}_{an} - \boldsymbol{i}_a = \sqrt{2} \operatorname{Re} \sum_{n \in N} (G_{en} - G_e) U_n e^{jn\omega_l t}$$

$$\boldsymbol{i}_r \stackrel{\text{df}}{=} \sum_{n \in N} \boldsymbol{i}_{rn} = \sqrt{2} \operatorname{Re} \sum_{n \in N} jB_{en} U_n e$$

$$\boldsymbol{i}_u \stackrel{\text{df}}{=} \sum_{n \in N} \boldsymbol{i}_{un} = \sqrt{2} \operatorname{Re} \sum_{n \in N} A_n U_n^{\#} e^{jn\omega_l t}$$

Rozkład na składowe fizyczne

$$\boldsymbol{i} = \boldsymbol{i}_a + \boldsymbol{i}_s + \boldsymbol{i}_r + \boldsymbol{i}_u$$



$$\dot{\boldsymbol{i}} = \dot{\boldsymbol{i}}_a + \dot{\boldsymbol{i}}_s + \dot{\boldsymbol{i}}_r + \dot{\boldsymbol{i}}_u$$

Wartości skuteczne składowych fizycznych:

$$\|\dot{\boldsymbol{i}}_a\| = G_e \|\boldsymbol{u}\|,$$

$$\|\dot{\boldsymbol{i}}_s\| = \sqrt{\sum_{n \in N} (G_{en} - G_e)^2 \|\boldsymbol{u}_n\|^2}$$

$$\|\dot{\boldsymbol{i}}_u\| = \sqrt{\sum_{n \in N} A_n \|\boldsymbol{u}_n\|^2}$$

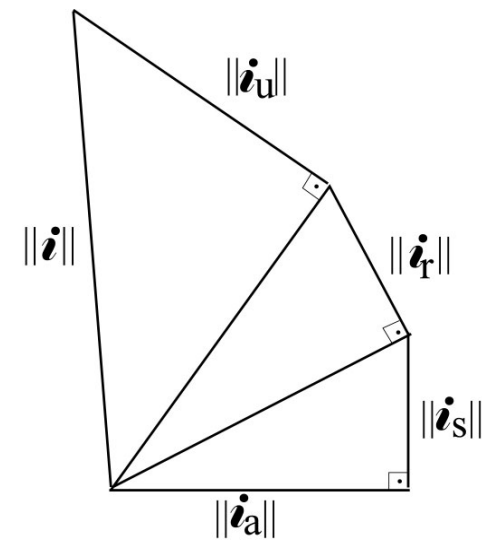
$$\|\dot{\boldsymbol{i}}_r\| = \sqrt{\sum_{n \in N} /B_n/^2 \|\boldsymbol{u}_n\|^2}$$

Prąd rozrzutu pojawia się wtedy, gdy

$$G_e = \frac{P}{\|\boldsymbol{u}\|^2}, \quad G_{en} = \frac{P_n}{\|\boldsymbol{u}_n\|^2}$$

CPS są wzajemnie ortogonalne, zatem:

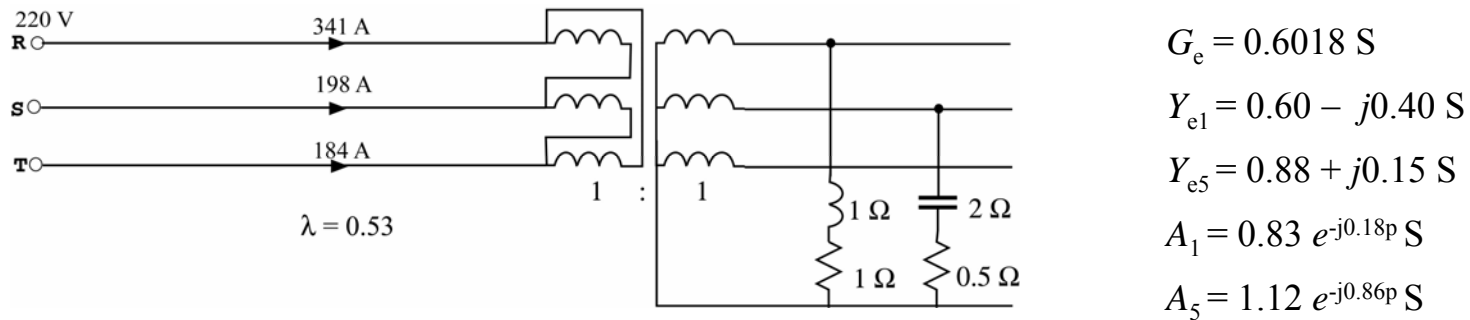
$$\|\dot{\boldsymbol{i}}\|^2 = \|\dot{\boldsymbol{i}}_a\|^2 + \|\dot{\boldsymbol{i}}_s\|^2 + \|\dot{\boldsymbol{i}}_r\|^2 + \|\dot{\boldsymbol{i}}_u\|^2$$



## Przykład

Rozkład na składowe symetryczne nie zależy od poziomu odkształcenia

$$u_R(t) = \sqrt{2} \operatorname{Re}\{220e^{j\omega_1 t} + 44e^{j5\omega_1 t}\} \text{ V}$$



$$\|\boldsymbol{i}\| = \sqrt{\|i_R\|^2 + \|i_S\|^2 + \|i_T\|^2} = \sqrt{341^2 + 198^2 + 184^2} = 433 \text{ A}$$

$$\|\boldsymbol{i}_a\| = 237 \text{ A}$$

$$\|\boldsymbol{i}_s\| = 21 \text{ A}$$

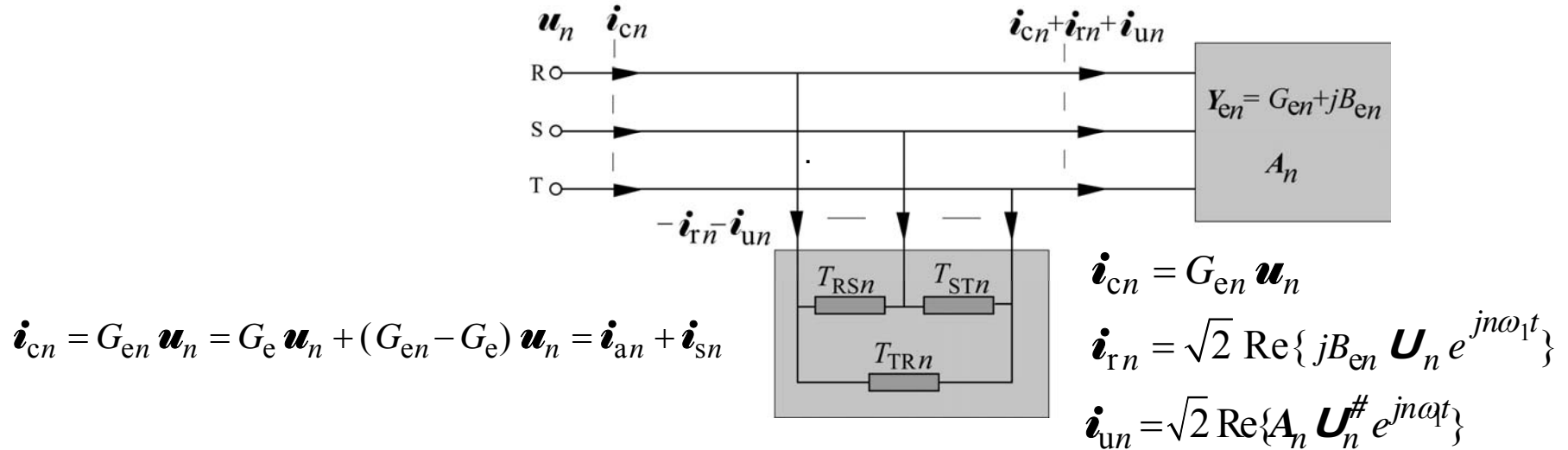
$$\|\boldsymbol{i}_r\| = 153 \text{ A}$$

$$\|\boldsymbol{i}_u\| = 327 \text{ A}$$

$$\|\boldsymbol{i}\| = \sqrt{\|\boldsymbol{i}_a\|^2 + \|\boldsymbol{i}_s\|^2 + \|\boldsymbol{i}_r\|^2 + \|\boldsymbol{i}_u\|^2} = \sqrt{237^2 + 21^2 + 153^2 + 327^2} = 433 \text{ A}$$

## Kompensacja reaktancyjna w warunkach niesinusoidalnych

Dla harmonicznej rzędu  $n$ :



$$B_{en} + (T_{STn} + T_{TRn} + T_{RSn}) = 0$$

$$A_n - j(T_{STn} + \beta T_{TRn} + \beta^* T_{RSn}) = 0$$

>>>

$$T_{RSn} = \frac{1}{3}(s\sqrt{3} \operatorname{Re} A_n - \operatorname{Im} A_n - B_{en})$$

$$T_{STn} = \frac{1}{3}(2 \operatorname{Im} A_n - B_{en})$$

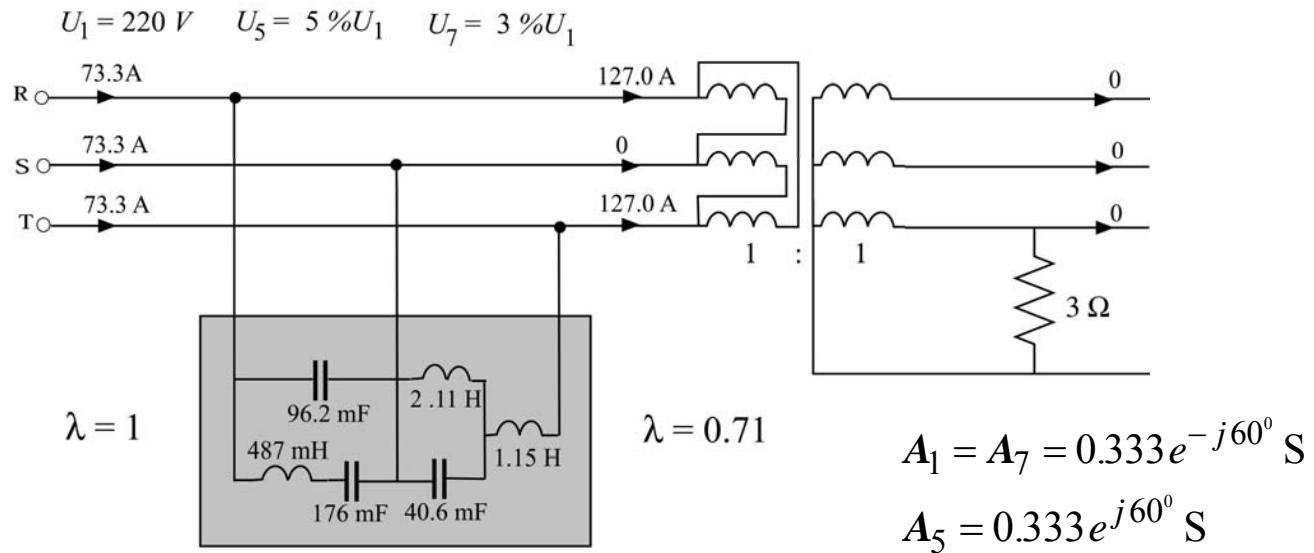
$$T_{TRn} = -\frac{1}{3}(s\sqrt{3} \operatorname{Re} A_n + \operatorname{Im} A_n + B_{en})$$

L.S. Czarnecki,

"Reactive and unbalanced currents compensation in three-phase circuits under nonsinusoidal conditions,"

*IEEE Trans. Instr. Measur.*, Vol. IM-38, No. 3, pp. 754-459, June 1989.

## Przykład



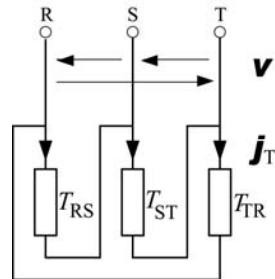
$$T_{RSn} = \frac{1}{3}(s\sqrt{3} \operatorname{Re} A_n - \operatorname{Im} A_n - B_{en})$$

$$T_{STn} = \frac{1}{3}(2 \operatorname{Im} A_n - B_{en})$$

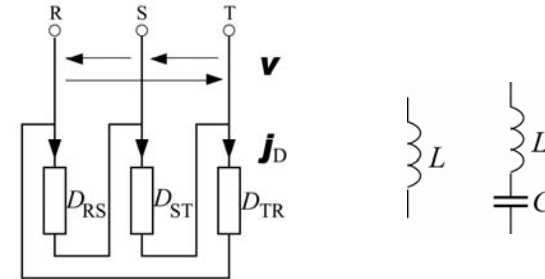
$$T_{TRn} = -\frac{1}{3}(s\sqrt{3} \operatorname{Re} A_n + \operatorname{Im} A_n + B_{en})$$

## Minimalizacja prądu biernego i prądu niezrównoważenia

Kompensator idealny



Kompensator zredukowany



L.S. Czarnecki,

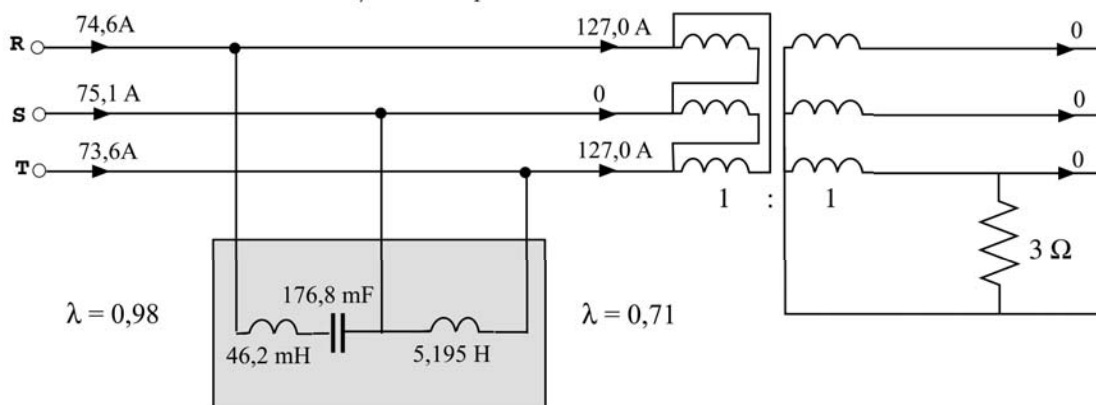
"Minimization of unbalanced and reactive currents in three-phase asymmetrical circuits with nonsinusoidal voltage,"

Proc. IEE, Vol. 139, Pt. B, No. 4, pp. 347-354, July 1992.

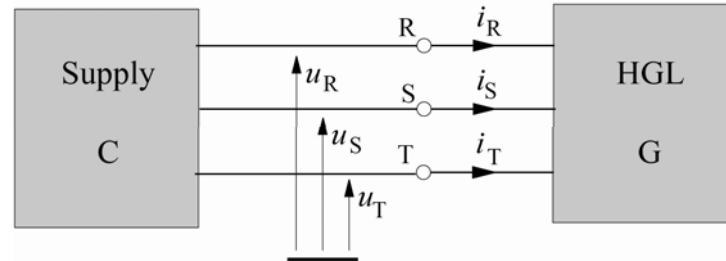
$$d = \sqrt{\lVert \mathbf{j}_T - \mathbf{j}_D \rVert^2}$$

Przykład:

$$U_1 = 220 \text{ V} \quad U_5 = 5\%U_1 \quad U_7 = 3\%U_1$$



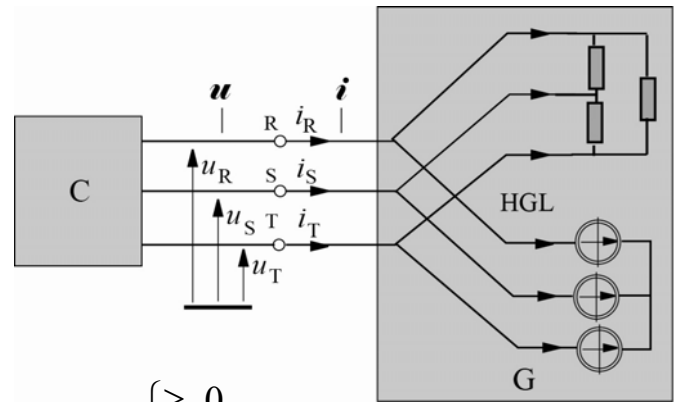
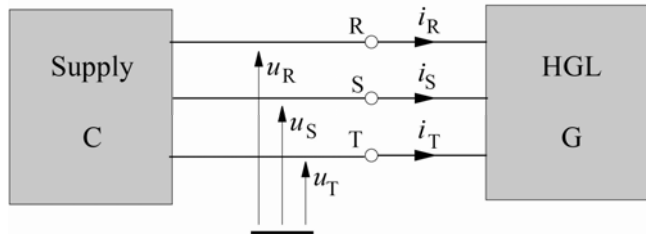
## Składowe fizyczne prądu w obwodach trójfazowych z odbiornikami generującymi harmoniczne



$$P_n = U_{Rn} I_{Rn} \cos \varphi_{Rn} + U_{Sn} I_{Sn} \cos \varphi_{Sn} + U_{Tn} I_{Tn} \cos \varphi_{Tn} \quad \begin{cases} \geq 0 \\ < 0 \end{cases}$$

Jeśli napięcie jest symetryczne:

$$I_{an} \stackrel{\text{df}}{=} I_{Rn} \cos \varphi_{Rn} + I_{Sn} \cos \varphi_{Sn} + I_{Tn} \cos \varphi_{Tn} \quad \begin{cases} \geq 0 \\ < 0 \end{cases}$$



$$I_{an} \stackrel{\text{df}}{=} I_{Rn} \cos \varphi_{Rn} + I_{Sn} \cos \varphi_{Sn} + I_{Tn} \cos \varphi_{Tn} \quad \begin{cases} \geq 0 \\ < 0 \end{cases}$$

Ze względu na kierunek przepływu energii harmonicznych  
zbiór rzędów harmonicznych  $N$  może być rozłożony na dwa podzbiory  $N_C$ , i  $N_G$ ,

Jesli  $I_{an} \geq 0, n \in N_C$

$$\sum_{n \in N_C} \dot{\mathbf{i}}_n \stackrel{\text{df}}{=} \dot{\mathbf{i}}_C, \quad \sum_{n \in N_C} \dot{\mathbf{u}}_n \stackrel{\text{df}}{=} \dot{\mathbf{u}}_C, \quad \sum_{n \in N_C} P_n \stackrel{\text{df}}{=} P_C$$

Jesli  $I_{an} < 0, n \in N_G$

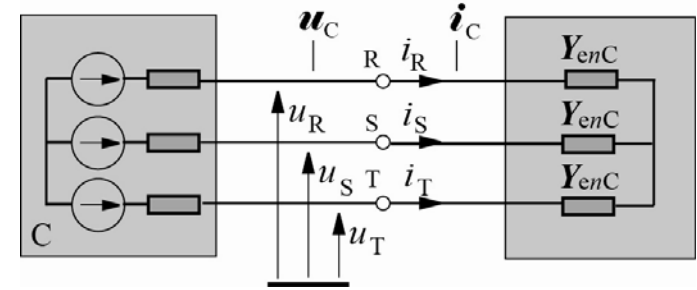
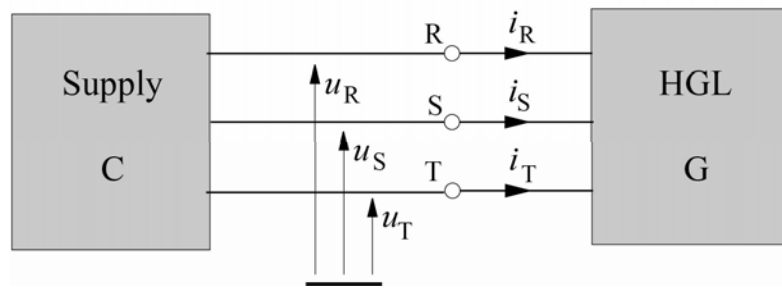
$$\sum_{n \in N_G} \dot{\mathbf{i}}_n \stackrel{\text{df}}{=} \dot{\mathbf{i}}_G, \quad \sum_{n \in N_G} \dot{\mathbf{u}}_n \stackrel{\text{df}}{=} -\dot{\mathbf{u}}_G, \quad \sum_{n \in N_G} P_n \stackrel{\text{df}}{=} -P_G.$$

$$\dot{\mathbf{i}} = \sum_{n \in N} \dot{\mathbf{i}}_n = \dot{\mathbf{i}}_C + \dot{\mathbf{i}}_G, \quad \dot{\mathbf{u}} = \sum_{n \in N} \dot{\mathbf{u}}_n = \dot{\mathbf{u}}_C - \dot{\mathbf{u}}_G, \quad P = \sum_{n \in N} P_n = P_C - P_G.$$

$$\|\dot{\mathbf{u}}\|^2 = \|\dot{\mathbf{u}}_C\|^2 + \|\dot{\mathbf{u}}_G\|^2$$

$$\|\dot{\mathbf{i}}\|^2 = \|\dot{\mathbf{i}}_C\|^2 + \|\dot{\mathbf{i}}_G\|^2$$

Dla  $n \in N_C$

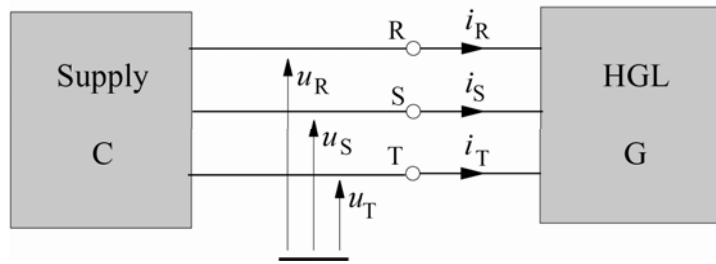


$$Y_{enC} \stackrel{\text{df}}{=} G_{enC} + jB_{enC} = \frac{S_n^*}{\|\boldsymbol{u}_n\|^2}$$

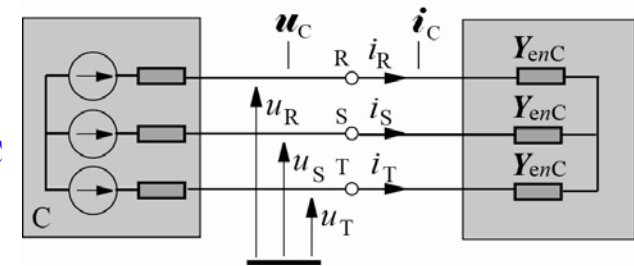
$$S_n \stackrel{\text{df}}{=} P_n + jQ_n = U_n^T I_n^*$$

$$G_{eC} \stackrel{\text{df}}{=} \frac{P_C}{\|\boldsymbol{u}_C\|^2} \quad \quad \quad \boldsymbol{i}_{aC} \stackrel{\text{df}}{=} G_{eC} \boldsymbol{u}_C$$

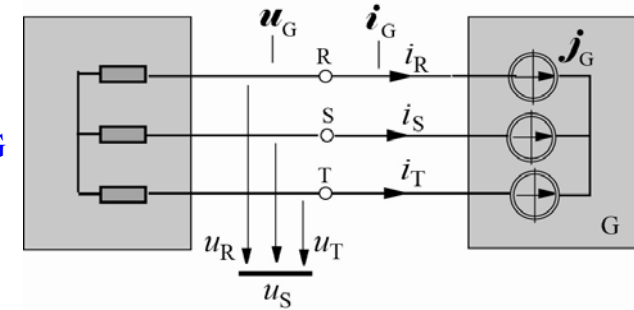
$$\boldsymbol{i}_C = \boldsymbol{i}_{aC} + \boldsymbol{i}_{sC} + \boldsymbol{i}_{rC} + \boldsymbol{i}_{uC}$$



Dla  $n \in N_C$



Dla  $n \in N_G$



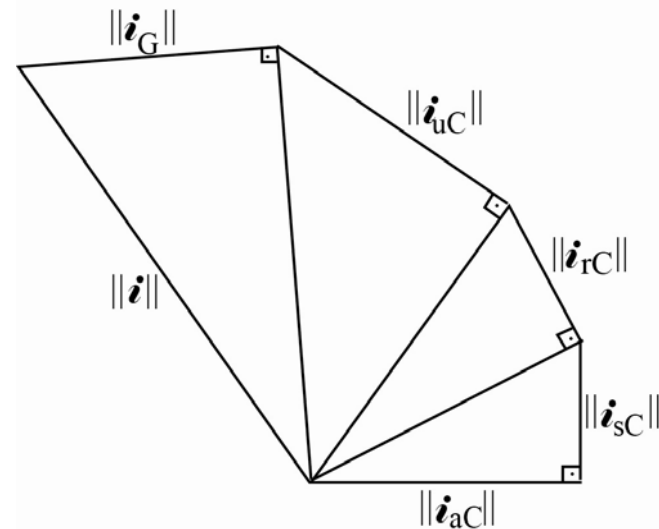
Składowe fizyczne prądu odbiornika generującego harmoniczne:

$$\mathbf{i} = \mathbf{i}_{aC} + \mathbf{i}_{sC} + \mathbf{i}_{rC} + \mathbf{i}_{uC} + \mathbf{i}_G$$

Składowe fizyczne są wzajemnie ortogonalne, zatem

$$\|\boldsymbol{i}\|^2 = \|\boldsymbol{i}_{aC}\|^2 + \|\boldsymbol{i}_{sC}\|^2 + \|\boldsymbol{i}_{rC}\|^2 + \|\boldsymbol{i}_{uC}\|^2 + \|\boldsymbol{i}_G\|^2$$

Ilustracja geometryczna:



,

### Równanie mocy HGL:

$$S \stackrel{\text{df}}{=} \| \boldsymbol{u} \| \cdot \| \boldsymbol{i} \| = \sqrt{\| \boldsymbol{u}_C \|^2 + \| \boldsymbol{u}_G \|^2} \sqrt{\| \boldsymbol{i}_C \|^2 + \| \boldsymbol{i}_G \|^2} = \sqrt{S_C^2 + S_G^2 + S_E^2}$$

$$S_C \stackrel{\text{df}}{=} \| \boldsymbol{u}_C \| \cdot \| \boldsymbol{i}_C \| = \sqrt{P_C^2 + D_{sC}^2 + Q_C^2 + D_{uC}^2}$$

$$S_G \stackrel{\text{df}}{=} \| \boldsymbol{u}_G \| \cdot \| \boldsymbol{i}_G \|$$

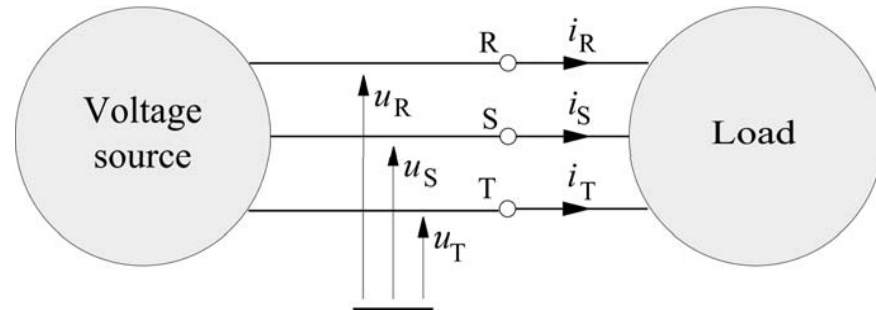
$$S_E \stackrel{\text{df}}{=} \sqrt{\| \boldsymbol{u}_C \|^2 \| \boldsymbol{i}_G \|^2 + \| \boldsymbol{u}_G \|^2 \| \boldsymbol{i}_C \|^2}$$

### Współczynnik mocy:

$$\lambda \stackrel{\text{df}}{=} \frac{P}{S} = \frac{P_C - P_G}{\sqrt{P_C^2 + D_{sC}^2 + Q_{rC}^2 + D_{uC}^2 + S_G^2 + S_E^2}}$$

Uwagi dotyczące:

**Instantaneous Reactive Power p-q Theory**  
*Akagi, Nabaе, Kanazawa*  
**(1983)**



Clarke Transform:

$$\begin{bmatrix} u_\alpha \\ u_\beta \end{bmatrix} = \begin{bmatrix} \sqrt{3/2}, & 0 \\ 1/\sqrt{2}, & \sqrt{2} \end{bmatrix} \begin{bmatrix} u_R \\ u_S \end{bmatrix} = C \begin{bmatrix} u_R \\ u_S \end{bmatrix} \quad \begin{bmatrix} i_\alpha \\ i_\beta \end{bmatrix} = \begin{bmatrix} \sqrt{3/2}, & 0 \\ 1/\sqrt{2}, & \sqrt{2} \end{bmatrix} \begin{bmatrix} i_R \\ i_S \end{bmatrix} = C \begin{bmatrix} i_R \\ i_S \end{bmatrix}$$

Instantaneous real or active power:

$$p = u_\alpha i_\alpha + u_\beta i_\beta,$$

Instantaneous imaginary or reactive power

$$q = u_\alpha i_\beta - u_\beta i_\alpha$$

Instantaneous active current:

In  $\alpha, \beta$  coordinates:

$$i_{\alpha p} = \frac{u_\alpha}{u_\alpha^2 + u_\beta^2} p \quad i_{\beta p} = \frac{u_\beta}{u_\alpha^2 + u_\beta^2} p$$

In phase coordinates:

$$\begin{bmatrix} i_{Rp} \\ i_{Sp} \end{bmatrix} = C^{-1} \begin{bmatrix} i_{\alpha p} \\ i_{\beta p} \end{bmatrix} = \begin{bmatrix} \sqrt{2/3}, & 0 \\ -1/\sqrt{6}, & 1/\sqrt{2} \end{bmatrix} \begin{bmatrix} i_{\alpha p} \\ i_{\beta p} \end{bmatrix}$$

Instantaneous reactive current:

In  $\alpha, \beta$  coordinates:

$$i_{\alpha q} = \frac{-u_\beta}{u_\alpha^2 + u_\beta^2} q \quad i_{\beta q} = \frac{u_\alpha}{u_\alpha^2 + u_\beta^2} q$$

In phase coordinates:

$$\begin{bmatrix} i_{Rq} \\ i_{Sq} \end{bmatrix} = C^{-1} \begin{bmatrix} i_{\alpha q} \\ i_{\beta q} \end{bmatrix}$$

Według Nabae'a, który jest głównym autorem  
IRP p-q Theory:

*"It was developed to enable instantaneous compensation  
of the reactive power"*

Rzeczywiście,

moce chwilowe  $p$  &  $q$   
mogą być obliczone momentalnie  
co sugeruje wniosek,

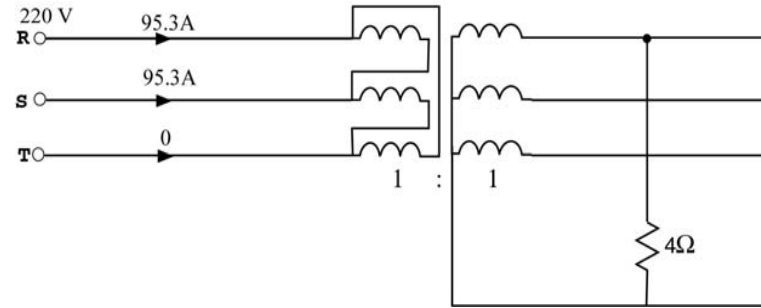
że właściwości energetyczne odbiorników mogą być też  
identyfikowane momentalnie  
(z opóźnieniem potrzebnym jedynie do obliczeń)

### Przykład 1

$$u_R = \sqrt{2} U \cos \omega t, \quad U = 220 \text{ V}$$

$$i_R = \sqrt{2} I \cos(\omega t + 30^\circ), \quad I = 95.3 \text{ A}$$

$$\mathbf{Q} = 0$$



$$\begin{bmatrix} u_\alpha \\ u_\beta \end{bmatrix} = C \begin{bmatrix} u_R \\ u_S \end{bmatrix} = \begin{bmatrix} \sqrt{3} U \cos \omega t \\ \sqrt{3} U \sin \omega t \end{bmatrix}$$

$$\begin{bmatrix} i_\alpha \\ i_\beta \end{bmatrix} = C \begin{bmatrix} i_R \\ -i_R \end{bmatrix} = \begin{bmatrix} \sqrt{3} I \cos(\omega t + 30^\circ) \\ -I \cos(\omega t + 30^\circ) \end{bmatrix}$$

Instantaneous powers,

Active:  $p = u_\alpha i_\alpha + u_\beta i_\beta = \sqrt{3} U I [1 + \cos 2(\omega t + 30^\circ)]$

Reactive:  $q = u_\alpha i_\beta - u_\beta i_\alpha = -\sqrt{3} U I \sin 2(\omega t + 30^\circ)$

For  $2(\omega t + 30^\circ) = 90^\circ, \quad p = -q$

Instantaneous currents,

Active:  $\begin{bmatrix} i_{Rp} \\ i_{Sp} \end{bmatrix} = \sqrt{\frac{2}{3}} I [1 + \cos 2(\omega t + 30^\circ)] \begin{bmatrix} \cos \omega t \\ \cos(\omega t - 120^\circ) \end{bmatrix}$

Reactive:  $\begin{bmatrix} i_{Rq} \\ i_{Sq} \end{bmatrix} = \sqrt{\frac{2}{3}} I \sin 2(\omega t + 30^\circ) \begin{bmatrix} \sin \omega t \\ \sin(\omega t - 120^\circ) \end{bmatrix}$

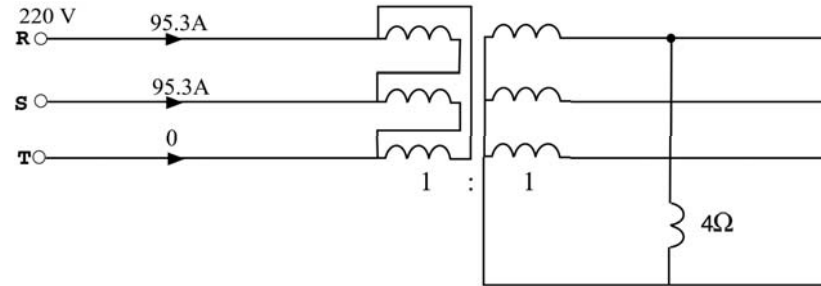
**Odbiornik czysto rezystancyjny obciąża źródło chwilowym prądem biernym**

## Przykład 2

$$u_R = \sqrt{2} U \cos \omega t, \quad U = 220 \text{ V}$$

$$i_R = \sqrt{2} I \cos(\omega t - 60^\circ), \quad I = 95.3 \text{ A}$$

$$P = 0$$



$$\begin{bmatrix} i_\alpha \\ i_\beta \end{bmatrix} = C \begin{bmatrix} i_R \\ -i_R \end{bmatrix} = \begin{bmatrix} \sqrt{3} I \cos(\omega t - 60^\circ) \\ -I \cos(\omega t - 60^\circ) \end{bmatrix}$$

Instantaneous powers,

$$\text{Active: } p = u_\alpha i_\alpha + u_\beta i_\beta = \sqrt{3} U I [\cos(2\omega t - 30^\circ)]$$

$$\text{Reactive: } q = u_\alpha i_\beta - u_\beta i_\alpha = -\sqrt{3} U I [1 + \sin(2\omega t - 30^\circ)]$$

$$\text{For } 2\omega t - 30^\circ = 0, \quad p = -q$$

Instantaneous active current in R line:

$$i_{Rp} = \frac{I}{\sqrt{6}} [\cos(\omega t - 30^\circ) + \cos(3\omega t - 30^\circ)]$$

**Odbiornik czysto reaktancyjny obciąża źródło chwilowym prądem czynnym**

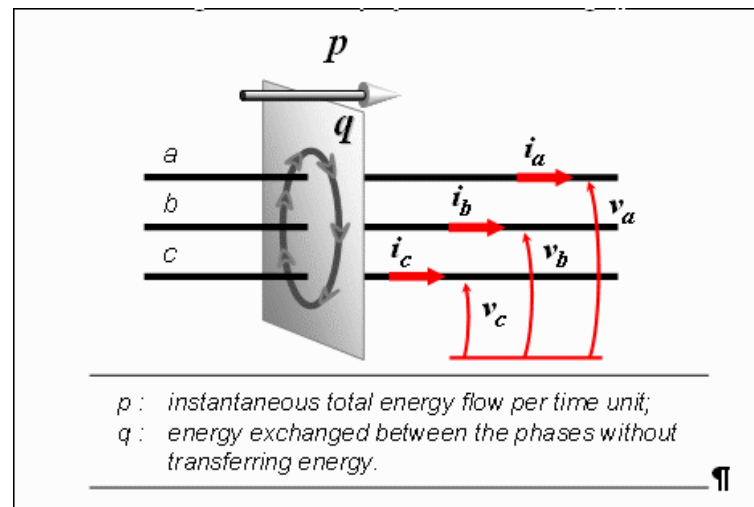
Wniosek:

Para mocy chwilowych  $p$  i  $q$ , zmierzonych w pewnej chwilie t  
nie określa właściwości energetycznych odbiornika

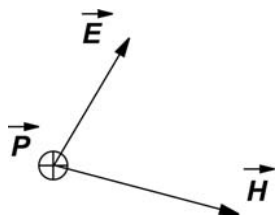
H. Akagi, E. H. Watanabe and M. Aredes book  
**Instantaneous Power Theory and Applications to Power Conditioning**

Przedstawili następującą interpretację fizyczną  
chwilowej mocy biernej  $q$ :

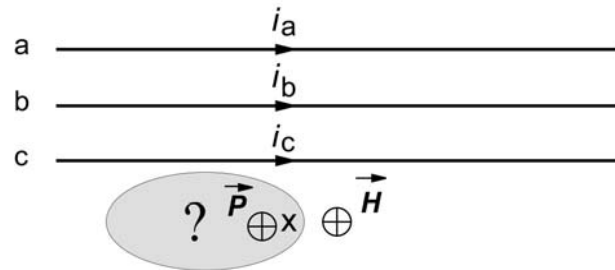
*“...the imaginary power  $q$  is proportional to the quantity of energy that is being exchanged between the phases of the system...” “Fig. ( ) summarizes the above explanations about the real and imaginary powers.”*



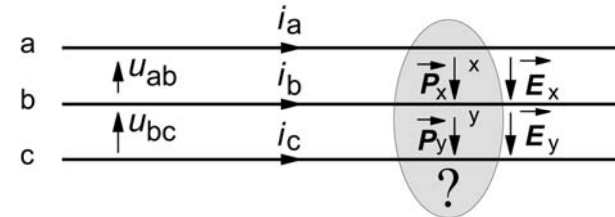
$$\vec{P} = \vec{E} \times \vec{H}$$



$$\iint_A \vec{P} \bullet d\vec{A} = \frac{dW(t)}{dt}$$



Wektor Poynting'a  $\vec{P}$   
nie może być równoległy  
do wektora natężenia pola magnetycznego  $\vec{H}$



Wektor Poynting'a  $\vec{P}$   
nie może być równoległy  
do wektora natężenia pola elektrycznego  $\vec{E}$

Interpretacja Akagi'ego jest błędna.

Energia nie może wirować wokół linii transmisyjnej bądź przepływać  
między przewodnikami liniami

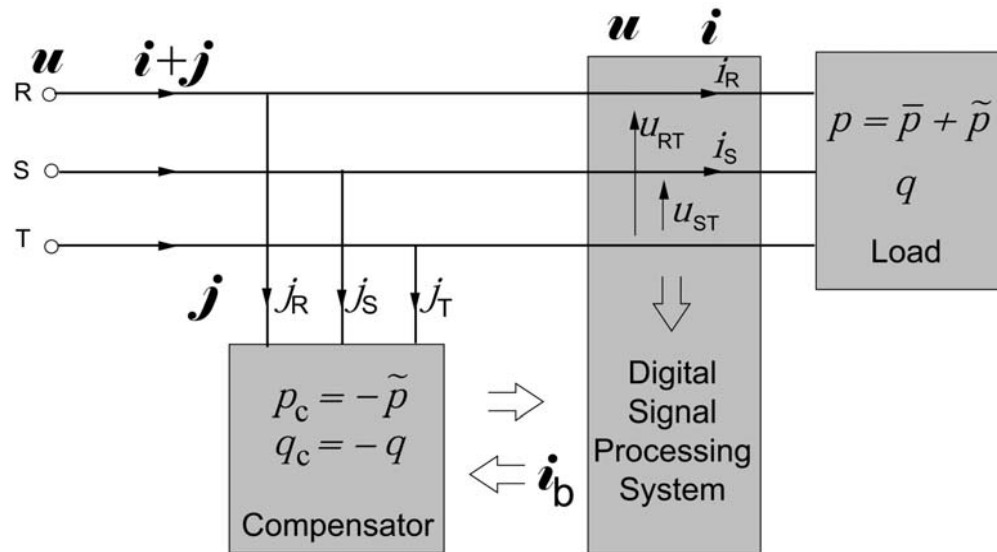
Teoria Chwilowej Mocy Biernej p-q nie ma znaczenia poznawczego  
gdyż  
nie dostarcza interpretacji zjawisk fizycznych

Dopiero teoria CPC wyjaśniła sens fizyczny mocy  $q$   
Jest to wielkość złożona

$$q = u_\alpha i_\beta - u_\beta i_\alpha = -Q - D \sin(2\omega t + \psi)$$

Ale nawet ten wynik jest poprawny tylko wtedy,  
gdy napięcia i prądy są sinusoidalne

Głównym zastosowaniem Teorii Chwilowej Mocy Biernej (TCPB) p-q, są algorytmy sterowania kompensatorów.



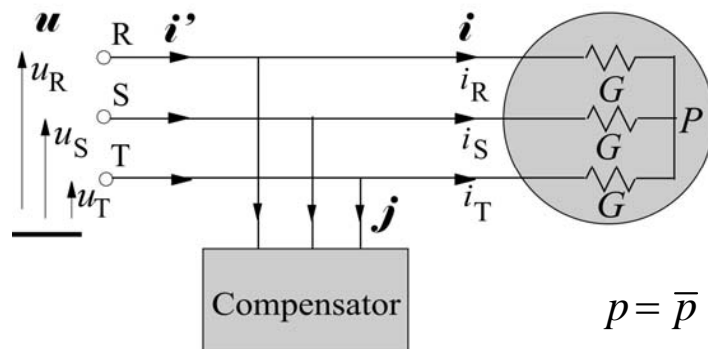
Według TCMB p-q, kompensator ma kompensować chwilową moc bierną  $q$  i składową oscylacyjną chwilowej mocy czynnej  $p$ .

L.S. Czarnecki, (2009) “[Effect of supply voltage harmonics on IRP p-q-based switching compensator control](#)”

*IEEE Trans. on Power Electronics, Vol. 24, No. 2*

If the load is an ideal resistive load supplied with nonsinusoidal voltage

$$\mathbf{u} = \mathbf{u}_1 + \mathbf{u}_5$$



$$p = \bar{p} + \tilde{p} = P_1 + P_5 + 6GU_1U_5 \cos 6\omega_l t$$

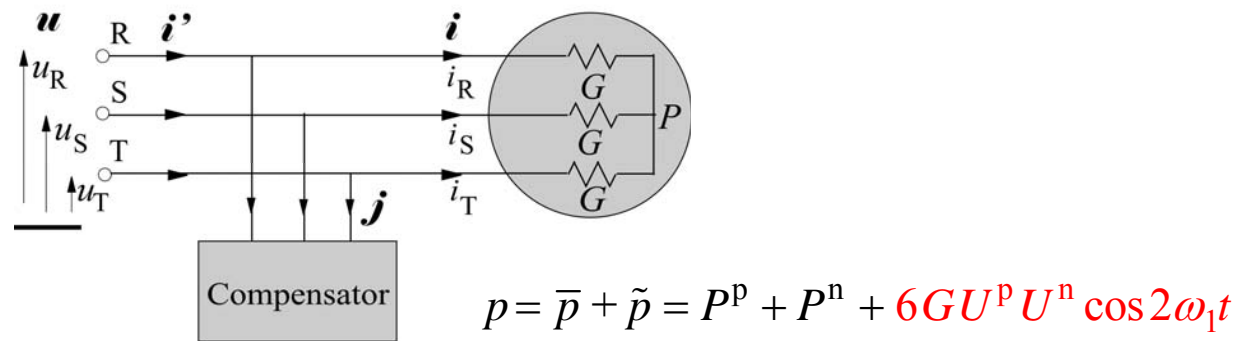
$$\mathbf{j} = \begin{bmatrix} j_R \\ j_S \end{bmatrix} = \frac{-2\sqrt{2}GU_1U_5 \cos 6\omega_l t}{U_1^2 + U_5^2 + 2U_1U_5 \cos 6\omega_l t} \begin{bmatrix} U_1 \cos \omega_l t + U_5 \cos 5\omega_l t \\ U_1 \cos(\omega_l t - 120^\circ) + U_5 \cos(5\omega_l t + 120^\circ) \end{bmatrix}$$

L.S. Czarnecki, “Effect of supply voltage asymmetry on IRP p-q - based switching compensator control“

*IET Proc. on Power Electronics, 2010, Vol. 3, No. 1*

If the load is an ideal resistive load supplied with asymmetrical voltage

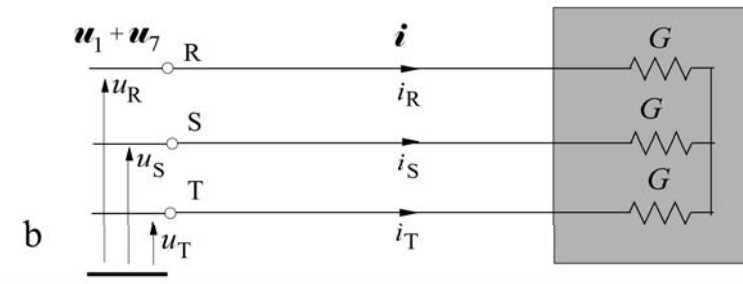
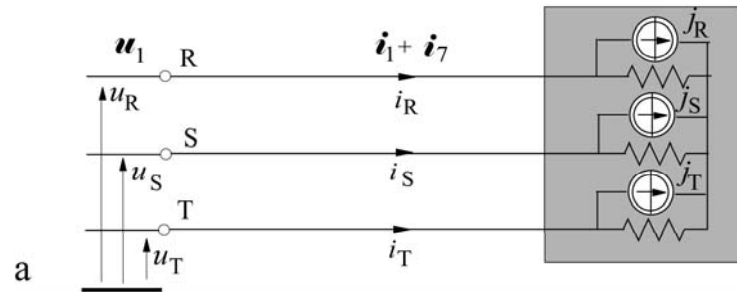
$$\mathbf{u} = \mathbf{u}^p + \mathbf{u}^n$$



$$j_R = \sqrt{\frac{2}{3}} j_\alpha = \frac{-2\sqrt{2} G(U^p + U^n)U^p U^n \cos \omega_1 t \cos 2\omega_1 t}{U^{p2} + U^{n2} + 2U^p U^n \cos 2\omega_1 t}$$

$$u_R = \sqrt{2} U_1 \cos \omega_1 t, \\ i_R = \sqrt{2} I_1 \cos \omega_1 t + \sqrt{2} I_7 \cos 7\omega_1 t$$

$$u_R = \sqrt{2} U_1 \cos \omega_1 t + \sqrt{2} U_7 \cos 7\omega_1 t \\ \boldsymbol{i} = G \boldsymbol{u}$$



$$p = \bar{p} + \tilde{p} = 3U_1 I_1 + 3U_1 I_7 \cos 6\omega_1 t$$

$$q = 0$$

$$p = \bar{p} + \tilde{p} = P + 6GU_1 U_7 \cos 6\omega_1$$

$$q = 0$$

These two circuits,  
different  
with respect to properties and needed compensation,  
are identical  
in terms of IRP p-q Theory

Instantaneous powers  $p$  and  $q$   
are algebraic forms (AF)  
of the supply voltages and the load currents products

$$p = \bar{p} + \tilde{p} = \text{AF}\{u_r i_s\}$$
$$q = \bar{q} + \tilde{q} = \text{AF}\{u_r i_s\}$$

$r, s = R, S \text{ or } T$

Values of  $p$  and  $q$  powers do not provide information  
whether their properties come  
from the supply voltage or from the load current



**ROBOCZA, ODBITA I SZKODLIWA  
MOC CZYNNA**

Podstawową wielkością w rozliczeniach energetycznych jest energia dostarczana do jej użytkownika

$$\int_0^{\tau} P dt = W_a ,$$

$P$  – moc czynna,  $\tau$  – okres rozliczeniowy

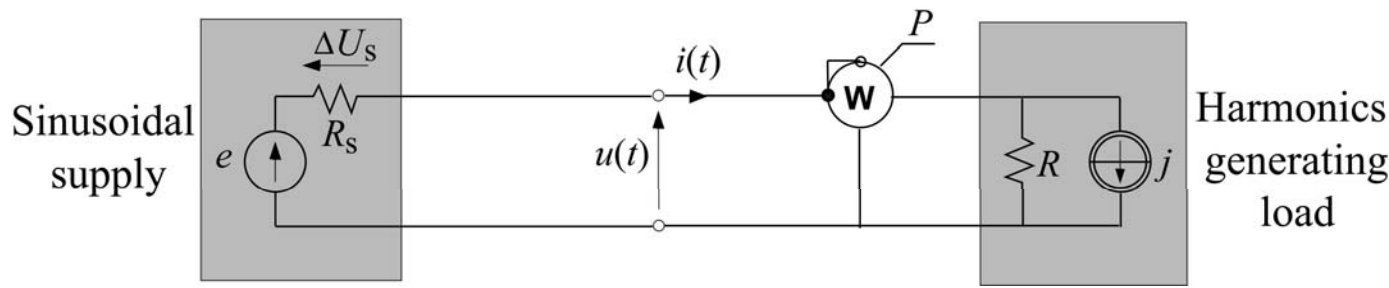
Terminy moc czynna,  $P$  oraz moc użyteczna są zwykle traktowane jako synonimy

Energia czynna  $W_a$  jest traktowana zwykle jako energia użyteczna

Odbiorcy wielkich ilości energii pokrywają też zwykle dodatkowe koszty wynikające z niskiego współczynnika mocy  $\lambda$ .

Takie podejście do rozliczeń energetycznych  
pojawiło się na przełomie  
XIX i XX wieku  
i obowiązuje do chwili obecnej

Przez większość tego okresu energia elektryczna dostarczana  
była z generatorów synchronicznych  
produkujących niemal doskonale sinusoidalne i symetryczne  
napięcie trójfazowe  
i zużywana była w dominującej części  
przez odbiorniki liniowe



$$u(t) = \sum_{n \in N} u_n = u_1 + u_h \quad i(t) = \sum_{n \in N} i_n = i_1 + i_h$$

$$P = \frac{1}{T} \int_0^T u(t) i(t) dt = P_1 + P_2 + P_3 + P_4 + \dots$$

$$P_1 = U_1 I_1 > 0$$

$$P_n = U_n I_n = (-R_s I_n) I_n = -R_s I_n^2 < 0$$

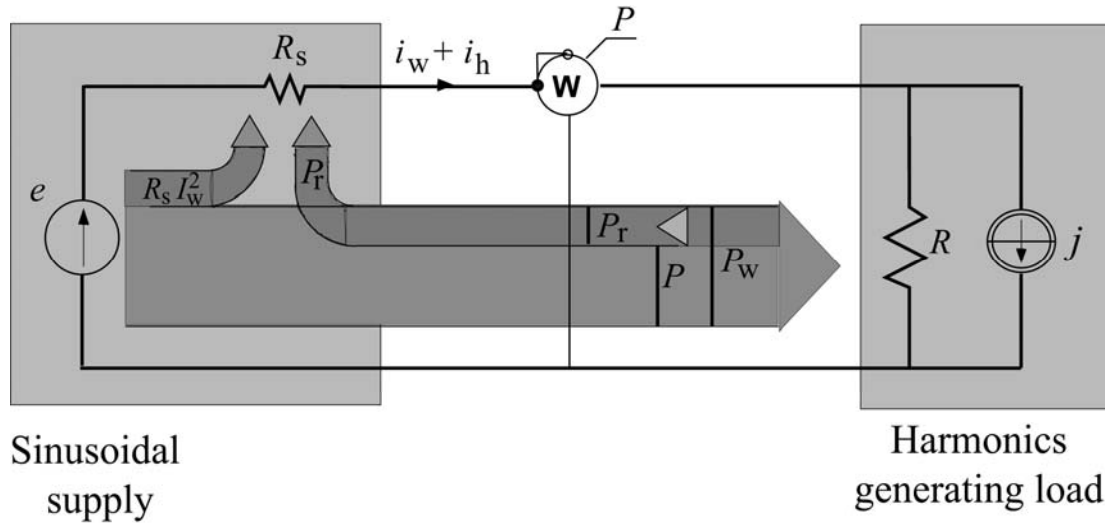
Energia do odbiornika dostarczana jest z mocą  $P_1$ .  
jest to

**robocza moc czynna,  $P_1 = P_w$**

$$-(P_2 + P_3 + P_4 + \dots) = P_r$$

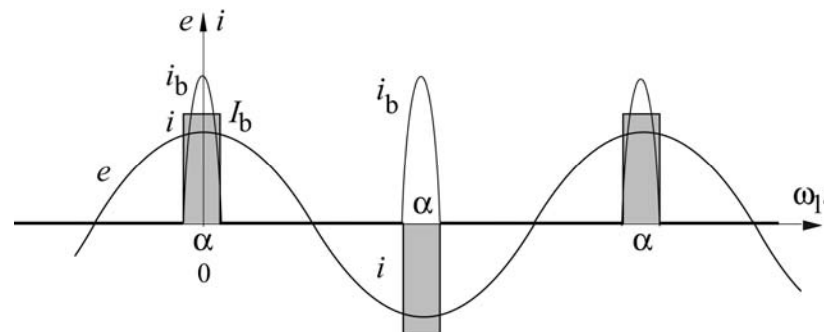
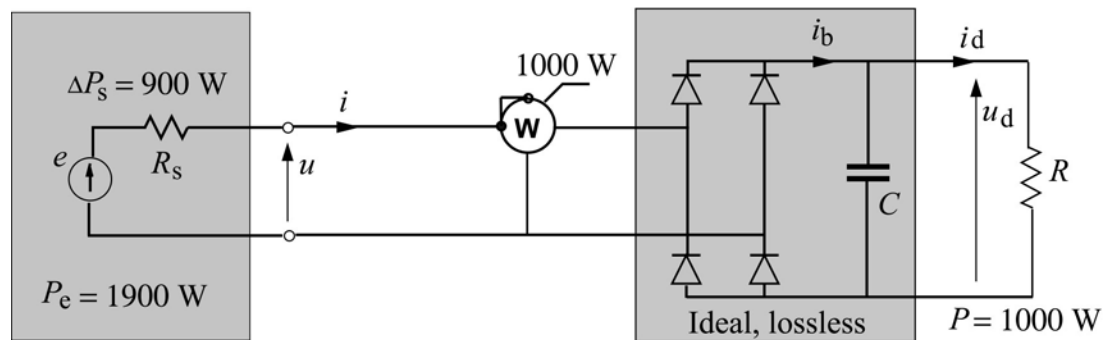
**odbita moc czynna**

$$P = P_w - P_r$$



*Odbiornik o mocy czynnej  $P$  generujący harmoniczne musi być zasilany z mocą roboczą  $P_w$ .*

$$P_w > P$$



$$\alpha = 10 \text{ deg},$$

$$R_s = 5\% \text{ of } R$$

Moc czynna  $P = 1000 \text{ W}$

Robocza moc czynna  $P_w = 1536 \text{ W}$

Odbita moc czynna  $P_r = 536 \text{ W}$

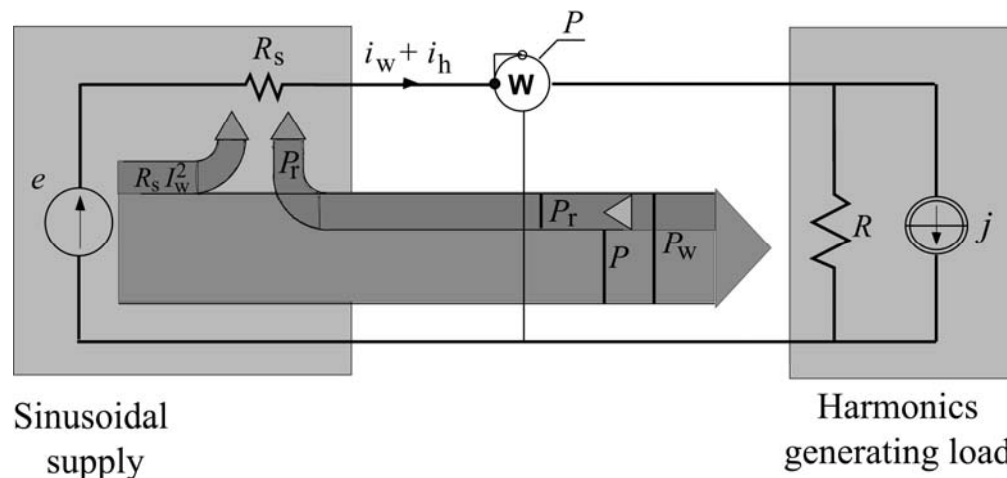
Moc strat w zasilaniu:  $\Delta P_s = 900 \text{ W}$

Harmoniczne generowane w odbiorniku  
powodują dodatkowe straty wewnętrz systemu zasilającego.  
Odbiorca winien płacić za energię roboczą

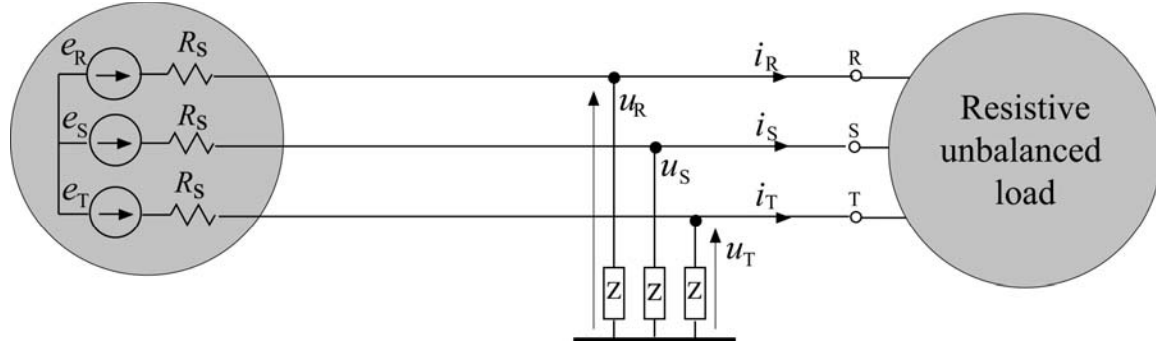
$$\int_0^{\tau} P_w dt = \int_0^{\tau} (P + P_r) dt = W_w > W_a$$

Prąd potrzebny do przenoszenia energii roboczej  $W_w$   
ma większą moc skutecną  
od prądu przenoszącego energię czynną  $W_a$

$$\Delta P_s = P_r + R_s I_w^2$$



## Robocza i odbita moc czynna w układach trójfazowych, trójprzewodowych

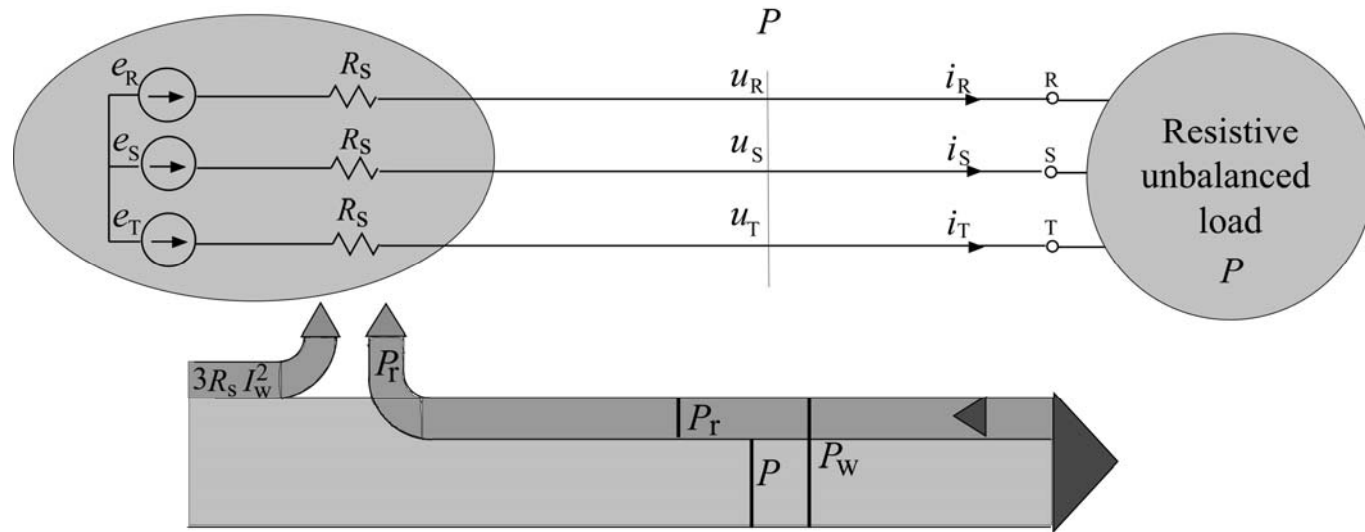


$$\begin{bmatrix} u_R \\ u_S \\ u_T \end{bmatrix} \stackrel{\text{df}}{=} \boldsymbol{u} = \boldsymbol{u}^p + \boldsymbol{u}^n \quad \begin{bmatrix} i_R \\ i_S \\ i_T \end{bmatrix} \stackrel{\text{df}}{=} \boldsymbol{i} = \boldsymbol{i}^p + \boldsymbol{i}^n$$

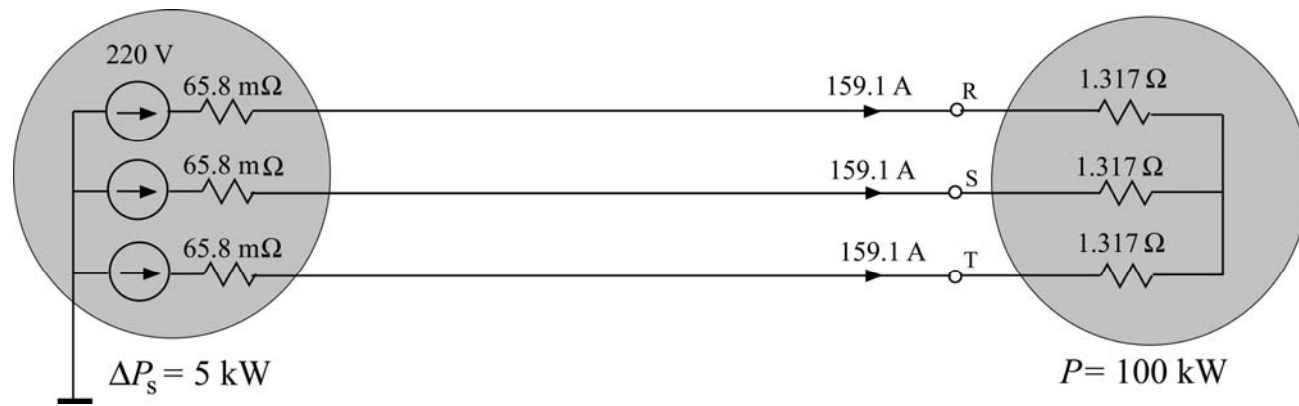
$$P = \frac{1}{T} \int_0^T \boldsymbol{u}^T \boldsymbol{i} \, dt = (\boldsymbol{u}, \boldsymbol{i}) = (\boldsymbol{u}^p, \boldsymbol{i}^p) + (\boldsymbol{u}^n, \boldsymbol{i}^n) = P^p + P^n$$

$$P^n \stackrel{\text{df}}{=} (\boldsymbol{u}^n, \boldsymbol{i}^n) = (-R_s \boldsymbol{i}^n, \boldsymbol{i}^n) = -R_s \|\boldsymbol{i}^n\|^2 = -P_r < 0$$

$$P = P^p + P^n \stackrel{\text{df}}{=} P_w - P_r$$



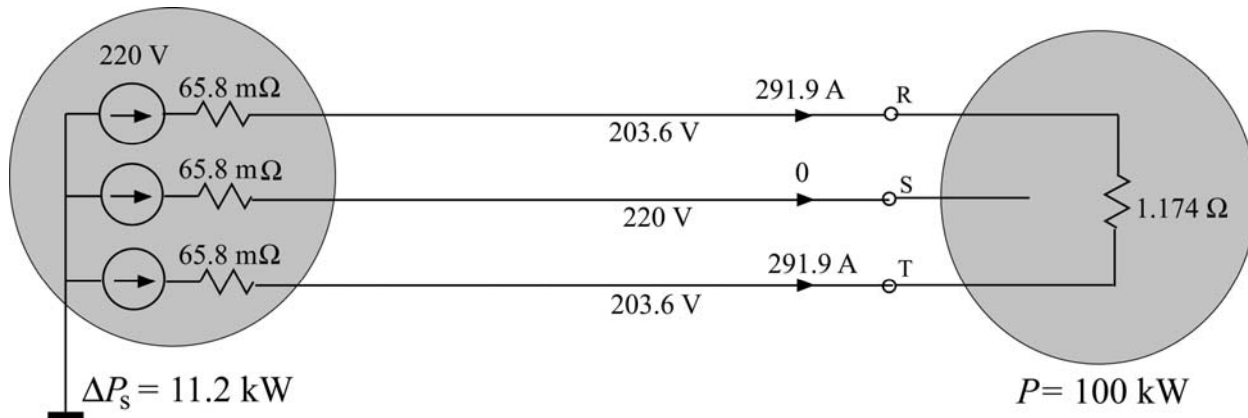
Odbiornik niezrównoważony o mocy czynnej  $P$   
musi być zasilany  
roboczą mocączną  $P_w$  większą od mocy czynnej



$$\|\boldsymbol{i}\| = \sqrt{3} \times 159.1 = 275.6 \text{ A}$$

Moc strat w źródle

$$\Delta P_s = R_s \|\boldsymbol{i}\|^2 = 0.0658 \times 275.6^2 = 5.0 \text{ kW}$$



$$\begin{bmatrix} \mathbf{U}^p \\ \mathbf{U}^n \end{bmatrix} = \frac{1}{3} \begin{bmatrix} 1, \alpha, \alpha^* \\ 1, \alpha^*, \alpha \end{bmatrix} \begin{bmatrix} \mathbf{U}_R \\ \mathbf{U}_S \\ \mathbf{U}_T \end{bmatrix} = \begin{bmatrix} 208.9 e^{j0^\circ} \\ 11.1 e^{j120^\circ} \end{bmatrix} \text{V}$$

$$\begin{bmatrix} \mathbf{I}^p \\ \mathbf{I}^n \end{bmatrix} = \frac{1}{3} \begin{bmatrix} 1, \alpha, \alpha^* \\ 1, \alpha^*, \alpha \end{bmatrix} \begin{bmatrix} \mathbf{I}_R \\ \mathbf{I}_S \\ \mathbf{I}_T \end{bmatrix} = \begin{bmatrix} 168.5 e^{j0^\circ} \\ 168.5 e^{-j60^\circ} \end{bmatrix} \text{A}$$

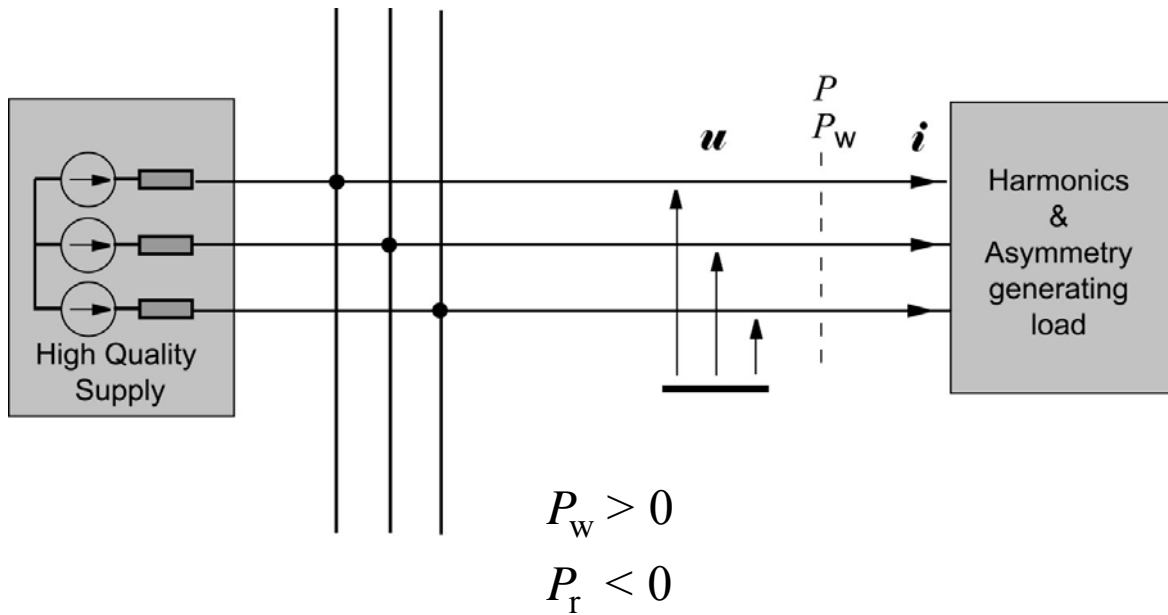
$$P_w = P^p = (\mathbf{u}^p, \mathbf{i}^p) = 3U^p I^p = 3 \times 208.9 \times 168.5 = 105.6 \text{ kW}$$

$$P_r = -P^n = -(\mathbf{u}^n, \mathbf{i}^n) = -3\operatorname{Re}\{\mathbf{U}^n \mathbf{I}^{n*}\} = 3 \times 11.1 \times 168.5 = 5.6 \text{ kW}$$

$$\|\mathbf{i}_w\| = \frac{P_w}{\|\mathbf{u}_w\|} = \frac{105.6 \times 10^3}{\sqrt{3} \times 208.9} = 291.8 \text{ A}$$

## Moc strat w źródle

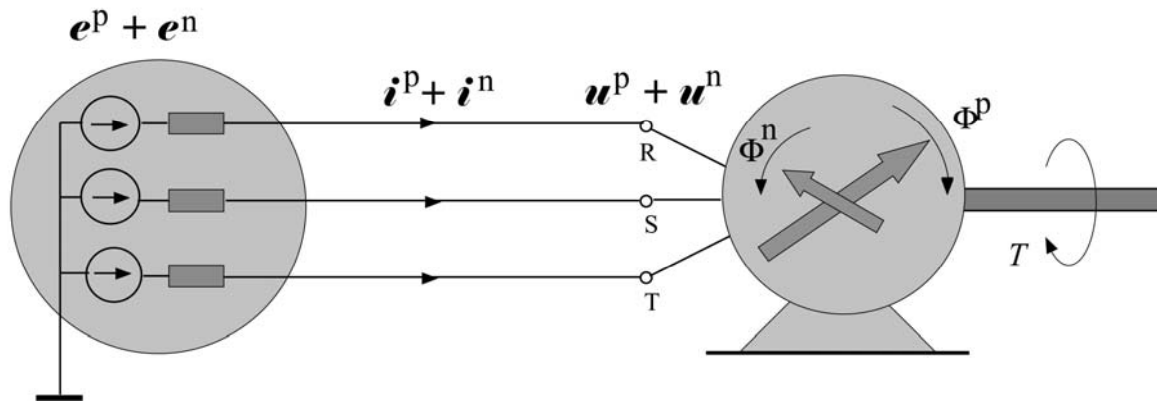
$$\Delta P_s = R_s \|\mathbf{i}_w\|^2 + P_r = 0.0658 \times 291.8^2 + 5.6 = 11.2 \text{ kW}$$



$$P_w > P$$

Rozliczenia energetyczne, których rdzeniem byłby koszt  
 energii roboczej  
 obciążałyby odbiorcę kosztem strat  
 powodowanych asymetrią prądów i harmonicznymi  
 generowanymi w odbiorniku

Rozważmy maszynę indukcyjną zasilaną  
napięciem asymetrycznym



Energia przenoszona przez składową kolejności przeciwej  
nie jest przekształcana na energię mechaniczną

Tak samo jest wtedy, gdy napięcie zasilania  
jest odkształcone.

$$P_w = P^p > 0$$

$$P_r = P^n > 0$$

$$P_w < P$$

Strata DOCHODÓW  
dostawcy energii elektrycznej  
sprzedawanej odbiorcom  
powodującym odkształcenie prądu i jego asymetrię  
jest proporcjonalna  
do różnicy między mocą roboczą a mocączną

$$\Delta P = P_w - P$$

PRZEPŁATA kosztu energii

odbiorcy zasilanego napięciem odkształconym i asymetrycznym  
jest proporcjonalna  
do różnicy między mocączną a mocą roboczą

$$\Delta P = P - P_w$$

Wtedy, gdy podstawą rozliczeń energetycznych  
jest energia czynna,  $W_a$ ,  
strona powodująca odkształcenia i asymetrię  
**nie jest finansowo odpowiedzialna  
za ich skutki**

Wtedy, gdy podstawą rozliczeń energetycznych  
jest energia robocza,  $W_w$ ,  
strona powodująca odkształcenia i asymetrię  
**płaci za ich skutki**

**Rozliczenia energetyczne oparte na koszcie energii roboczej,  $W_w$   
mogłyby tworzyć motywacje ekonomiczne  
do poprawy jakości zasilania i do poprawy jakości obciążenia  
a tym samym,  
do oszczędności energii**

Pomiar energii roboczej  
wymaga analizy harmonicznej,  
ograniczonej jednak do harmonicznej podstawowej prądu i  
napięcia

Systemy energetyczne będą się rozwijały  
w kierunku systemów inteligentnych,  
„smart grids”,  
wyposażonych w mierniki  
**zdolne do cyfrowej analizy sygnałów, DSP**

**Pomiar energii roboczej  $W_w$  przez takie mierniki będzie  
tylko zmianą  
na poziomie programowym**

**Główną przeszkodą  
dla racjonalizacji podstaw rozliczeń energetycznych  
mogą być**

- stuletnia tradycja tych rozliczeń na podstawie energii czynnej,
  - system przepisów, norm i standardów
  - inercja intelektualna

**Nie oznacza to jednak,  
że nie warto podejmować działań  
w tym kierunku.**

**Systemy energetyczne będą w najbliższej przyszłości  
podlegały głębokim zmianom.**

**Podstawy rozliczeń energetycznych powinny być jedną z nich**



Compensation goals  
in systems  
with nonsinusoidal voltages and currents

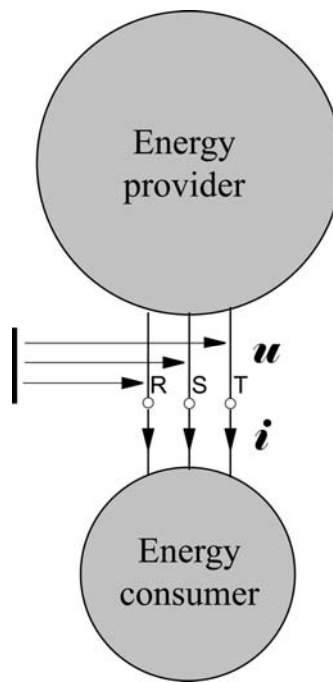
*Compensators & filters*

are used for

the electrical power system (providers & customers together)

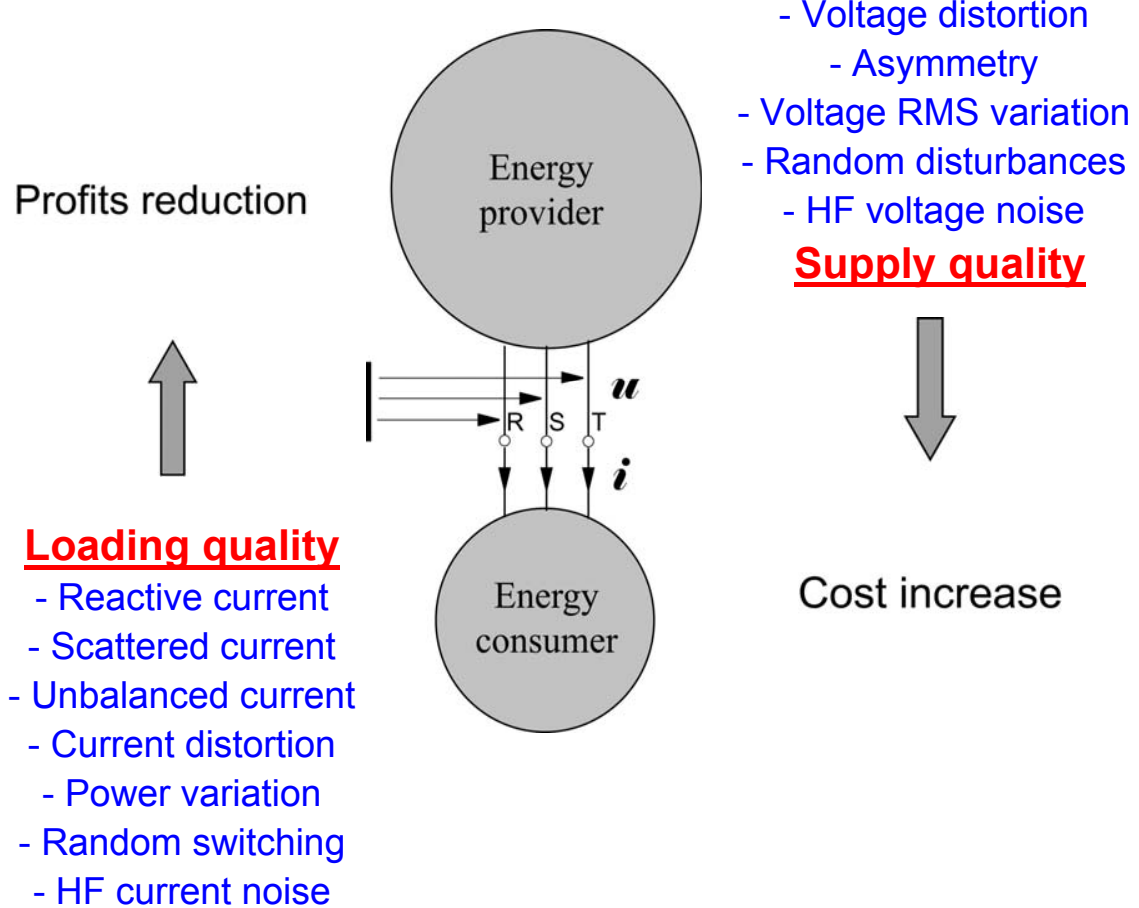
*performance improvement  
&  
economic benefits*

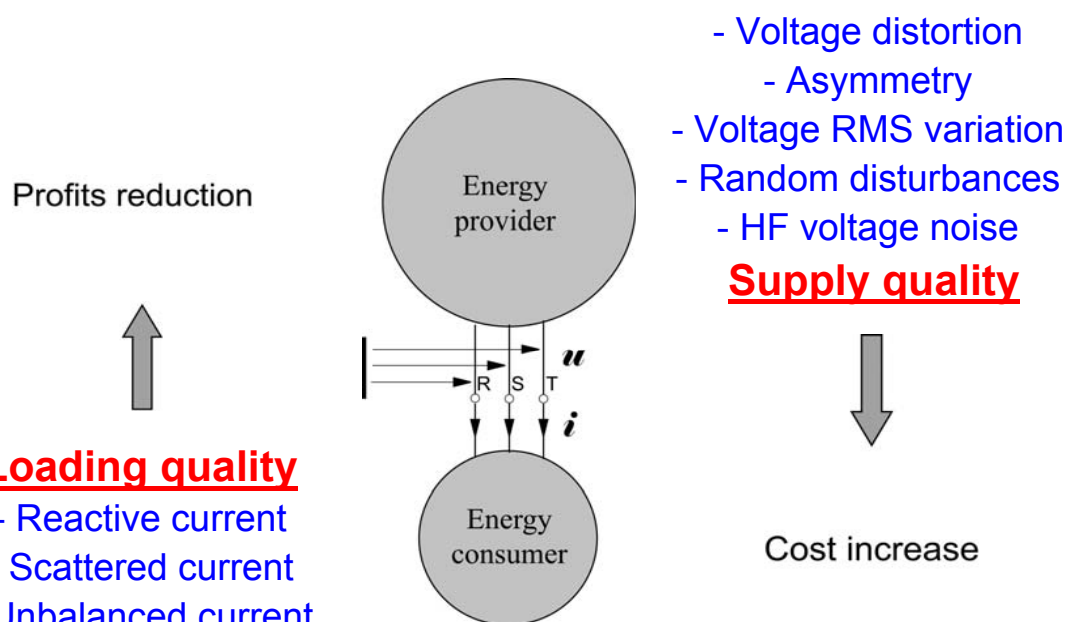
There are  
two different entities  
with different and conflicting goals:



Profits maximization  
at energy delivery

Cost of energy use  
minimization





### Loading quality

- Reactive current
- Scattered current
- Unbalanced current
- Current distortion
- Power variation
- Random switching
- HF current noise

- Voltage distortion
- Asymmetry
- Voltage RMS variation
- Random disturbances
- HF voltage noise

### Supply quality

**Compensation goals in a very essence are economic,  
unfortunately,**

**we usually are not able to use optimization procedures for compensator control.**

**It is difficult to express *profits reduction* in terms of *loading quality factors***

**It is difficult to express *cost increase* in terms of *supply quality factors***

**Compensator cost (investment & operation) is also a component in optimization procedure**

Therefore,

compensation goals  
are formulated usually as a reduction of some harmful agents  
of the loading quality or/and the supply quality

to a minimum value,  
or to a level imposed by standards

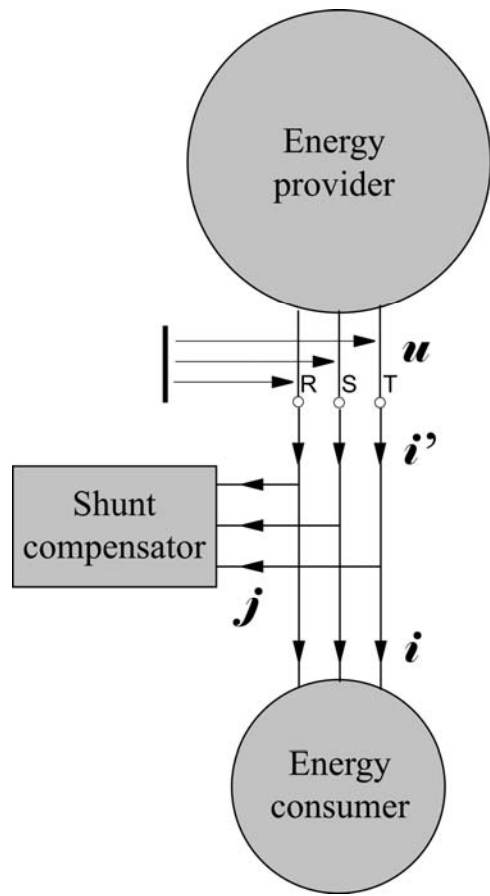
**Usually compensators are used for  
improvement  
of degraded loading quality**

Compensators are usually used for improvement  
of degraded loading quality

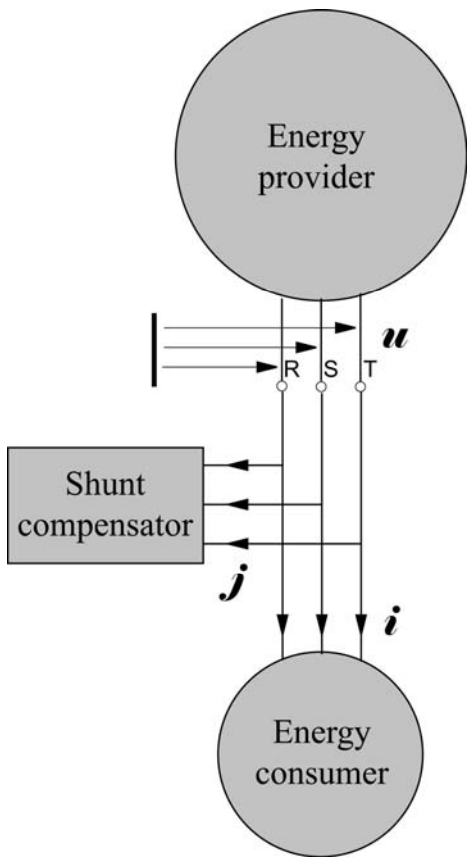
**Loading quality**

- Reactive current
- Scattered current
- Unbalanced current
- Current distortion
- Power variation
- Random switching
- HF current noise

Shunt compensators are needed for that



Reduction  
of the supply current three-phase  
RMS value  
 $\|\mathbf{i}''\|$   
and its distortion  
is a common objective  
of shunt compensation



- Voltage distortion
- Asymmetry
- Voltage RMS variation
- Random disturbances
- HF voltage noise

**Degraded supply quality**

Compensator should be able to reach  
the specified goals  
even at  
degraded supply quality

This could be particularly important  
*in micro-grids,*  
which might be weak systems  
with sources of voltage distortion on the provider side  
with dominating single-phase  
Harmonic Generating Loads

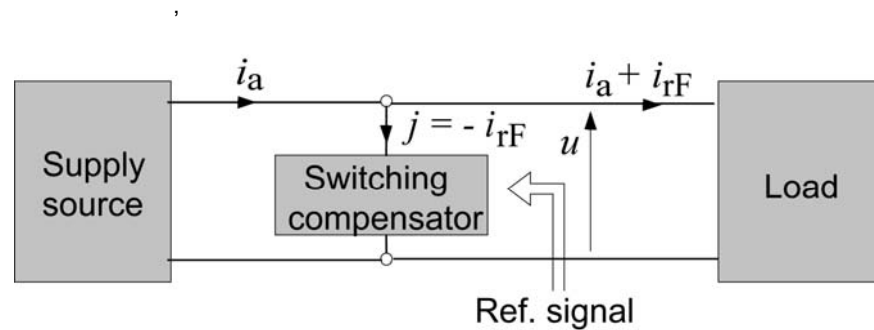
The active current  
according to Fryze power theory  
is the smallest current of a load which at voltage  $u(t)$   
has the active power  $P$

$$i_a(t) = G_e u(t), \quad G_e = \frac{P}{\|u\|^2}.$$

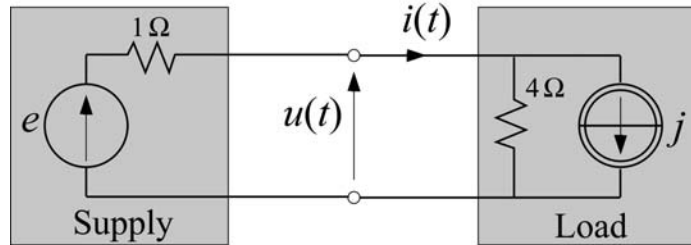
The remaining current,

$$i_{rF}(t) = i(t) - i_a(t)$$

increases only the supply current RMS value and can be compensated



$$e = 100\sqrt{2} \sin \omega_1 t \text{ V}$$



$$j = 50\sqrt{2} \sin 3\omega_1 t \text{ A}$$

$$i = \sqrt{2}(20 \sin \omega_1 t + 40 \sin 3\omega_1 t) \text{ A}$$

$$u = \sqrt{2}(80 \sin \omega_1 t - 40 \sin 3\omega_1 t) \text{ V}$$

$$P = P_1 + P_3 = 1600 - 1600 = 0$$

$$\|i_a\| \equiv 0$$

What is the objective of compensation in this circuit  
with zero active current  
?

The CPC power theory, unlike Fryze, differentiates two directions of energy flow.

- One, caused by the distribution voltage harmonics,  $P_n > 0$
- Second, caused by the load generated current harmonics,  $P_n < 0$

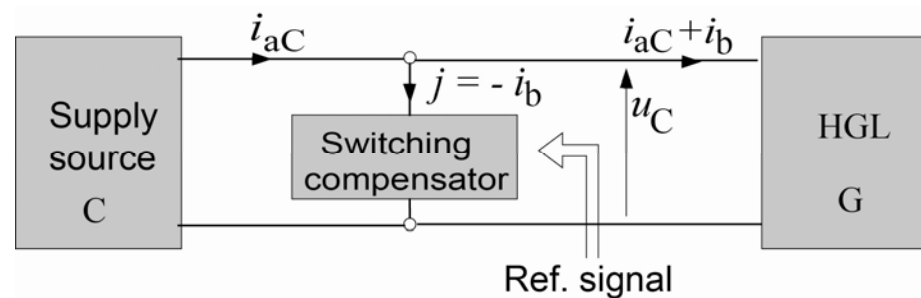
The active current  
according to CPC power theory

is the smallest current of a load which at distribution system originated voltage  $u_D(t)$   
has the active power  $P_D$

$$i_{aC}(t) \stackrel{\text{df}}{=} G_{eC} u_C(t) \quad G_{eC} \stackrel{\text{df}}{=} \frac{P_C}{\|u_C\|^2}$$

The useless and harmful current

$$i_b = i - i_{aC} = i_{rC} + i_{sC} + i_G$$



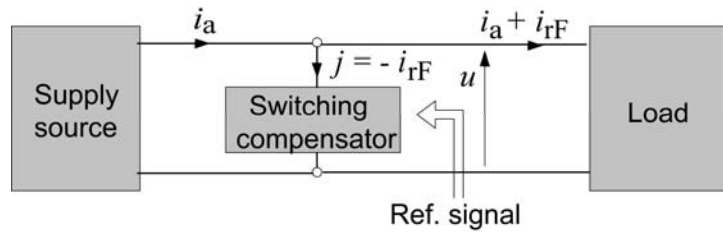
When the system is weak  
then shunt compensator affects  
the load voltage  
and  
compensation conditions

Compensation can be achieved only in a recursive process

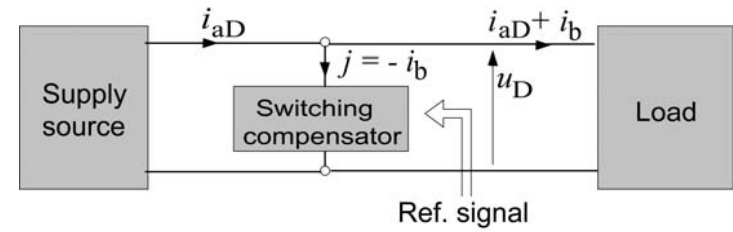
When the system is strong,  
shunt compensator does not affect the load voltage

Compensation can be achieved in a single step

Fryze PT approach



CPC PT approach



Recursive process of compensation  
converges  
to the active current as defined  
in the CPC power theory

$$i_{aC}(t) \stackrel{\text{df}}{=} G_{eC} u_C(t)$$

$$G_{eC} \stackrel{\text{df}}{=} \frac{P_C}{\|u_C\|^2}$$

The active current, both according to Fryze and CPC PTs,  
reproduces  
the supply voltage distortion and asymmetry

$$i_a(t) = G_e u(t)$$

$$i_{aC}(t) = G_{eC} u_C(t)$$

$$\boldsymbol{i}_a(t) = G_e \boldsymbol{u}(t)$$

$$\boldsymbol{i}_{aC}(t) = G_{eC} \boldsymbol{u}_C(t)$$

In some situations,  
the compensator has to increase  
the supply current distortion and asymmetry

There are opinions  
that the supply current after compensation  
should have  
not only the minimum RMS value,  
but also be sinusoidal and symmetrical

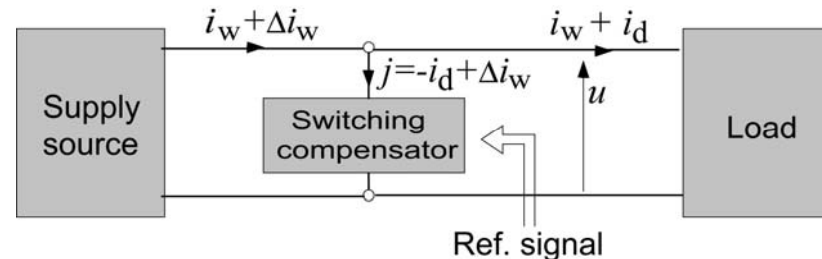
Such a current is referred to as  
*working current,*  
 $i_w$  or  $\dot{i}_w$

Sometimes shunt compensators are controlled  
to achieve such a goal

$$i_w(t) \stackrel{\text{df}}{=} i_{a1}(t) = G_w u_1(t) \quad G_w \stackrel{\text{df}}{=} G_1 = \frac{P_1}{\|u_1\|^2}$$

The remaining part of the current can be referred to as a *detrimental* current

$$i_d(t) \stackrel{\text{df}}{=} i(t) - i_w(t)$$



When a compensator is to reduce the supply current to the active current  
(according to Fryze or CPC PTs definitions)  
then

the compensator current  $j$  is orthogonal to the supply voltage  $u$ .

There is no permanent energy flow to the compensator

**This is not the case when the working current  $i_w$  is the goal of compensation**

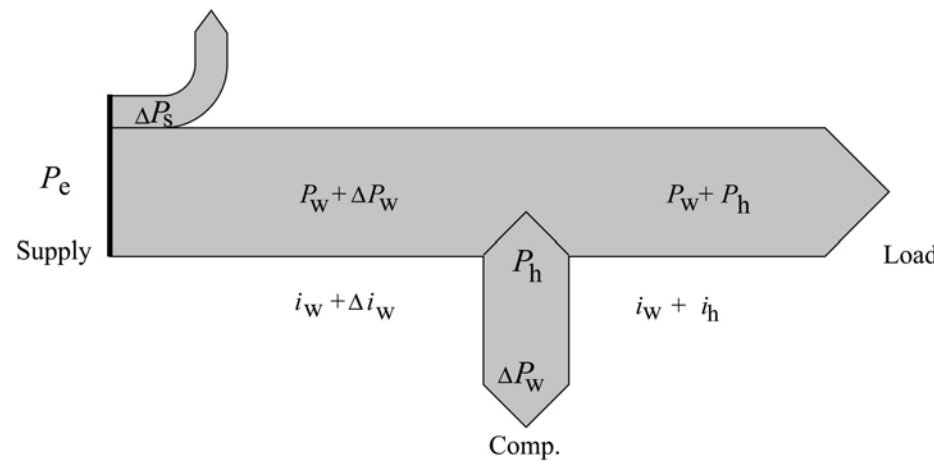
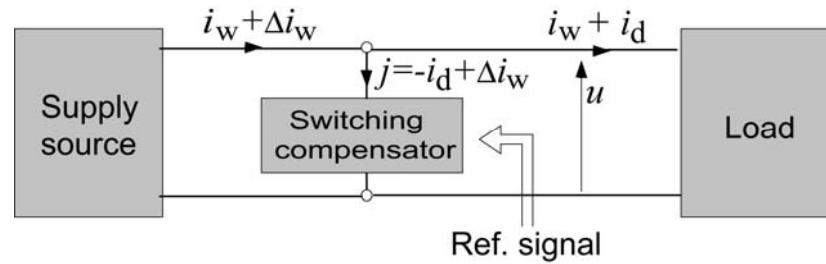
The active power of a switching compensator  
of purely resistive load is

$$P_c = (u, j) = (u, -i_d) = (u, -(i - i_1)) = -(u, i) + (u, i_1) = -P + P_1 = -P_h,$$

Compensator has to deliver energy to the system  
at the rate of  $P_h$

Switching compensators are not active,  
but passive devices,  
thus

this energy has to be delivered to the compensator  
by the current fundamental harmonic



## Three-phase, three-wire systems

$$\mathbf{e} = \mathbf{e}_l^p + \mathbf{e}_l^n + \mathbf{e}_h$$

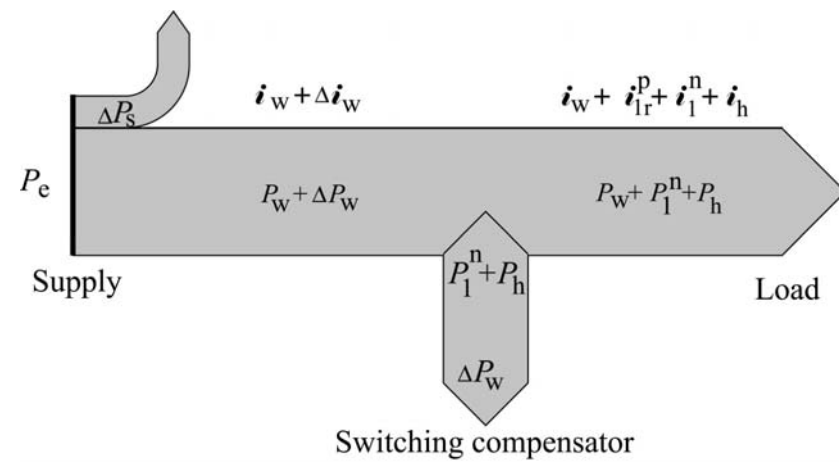
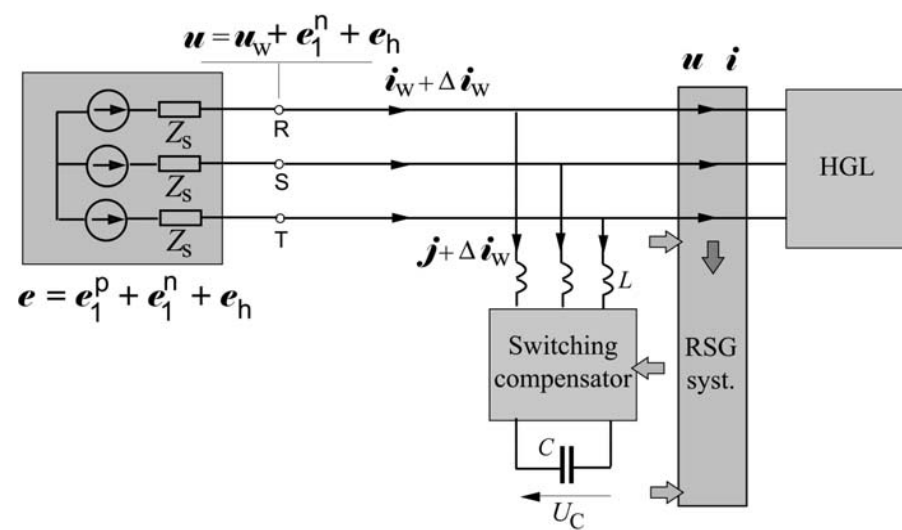
$$\mathbf{i} = \mathbf{i}_w + \mathbf{i}_{lr}^p + \mathbf{i}_l^n + \mathbf{i}_h \stackrel{\text{df}}{=} \mathbf{i}_w + \mathbf{i}_d$$

## Switching compensator current

$$\mathbf{j} = -\mathbf{i}_d = -(\mathbf{i}_{lr}^p + \mathbf{i}_l^n + \mathbf{i}_h)$$

Compensator current is not orthogonal  
to the supply voltage

$$(\mathbf{u}, \mathbf{j}) = (\mathbf{u}_{w0} + \mathbf{e}_l^n + \mathbf{e}_h, -\mathbf{i}_{lr}^p - \mathbf{i}_l^n - \mathbf{i}_h) = -(\mathbf{e}_l^n, \mathbf{i}_l^n) - (\mathbf{e}_h, \mathbf{i}_h) = -P_l^n - P_h$$



Should only the working current remain  
after compensation  
????  
is a debatable question

$$\|\boldsymbol{i}_a\| < \|\boldsymbol{i}_w\|$$

$$\|\boldsymbol{i}_{aC}\| < \|\boldsymbol{i}_w\|$$

Energy loss at delivery  
is lower when the supply current is reduced to the active current  
than  
it is reduced to the working current

When the supply voltage  
is nonsinusoidal and asymmetrical, however,  
then  
the active current is also nonsinusoidal and asymmetrical

Question as to compensation to the active or to the working current depends  
on which side is the compensator.  
It is on the provider or on the consumer side

